

Tiling by rectangles and alternating current

M. Prasolov^a, M. Skopenkov^{b,c,*}

^a*Moscow State University, Faculty of Mechanics and mathematics,
Leninskie Gory, 1, GSP-1, Moscow, 119991, Russian Federation*

^b*Institute for information transmission problems of the Russian Academy of Sciences,
Bolshoy Karetny per. 19, bld. 1, Moscow, 127994, Russian Federation*

^c*King Abdullah University of Science and Technology,
P.O. Box 2187, 4700 KAUST, 23955-6900 Thuwal, Kingdom of Saudi Arabia*

Abstract

This paper is on tilings of polygons by rectangles. A celebrated physical interpretation of such tilings by R.L. Brooks, C.A.B. Smith, A.H. Stone and W.T. Tutte uses direct-current circuits. The new approach of this paper is an application of alternating-current circuits. The following results are obtained:

- a necessary condition for a rectangle to be tilable by rectangles of given shapes;
- a criterion for a rectangle to be tilable by rectangles similar to it but not all homothetic to it;
- a criterion for a “generic” polygon to be tilable by squares.

These results generalize those of C. Freiling, R. Kenyon, M. Laczkovich, D. Rinne, and G. Szekeres.

Keywords:

Tiling, rectangle, orthogonal polygon, alternating current, electrical network

2010 MSC: 52C20, 94C05, 31C20, 30C15, 60J10

1. Introduction

A rectangle $a \times b$, where a and b are integers, can be tiled by $a \cdot b$ squares. Thus a rectangle with rational side ratio can be tiled by squares. In 1903 M. Dehn proved the reciprocal assertion:

Theorem 1.1. [11] *A rectangle can be tiled by squares (not necessarily equal) if and only if the ratio of two orthogonal sides of the rectangle is rational.*

Although this assertion is expected, the proof is complicated. After the original proof, many improvements have been made [2, 3, 19, 26, 35].

The most interesting for us is the approach of R. L. Brooks, C. A. B. Smith, A. H. Stone, and W. T. Tutte [3]. To a tiling of a rectangle they assign a direct-current circuit, and then deduce Theorem 1.1 from certain properties of the circuit. They also apply this technique to find a tiling of a square by squares of distinct sizes [13]; see the figure on the front cover of the journal. An elementary introduction to the approach is given in [28, 29].

*Corresponding author

Email addresses: 0x00002a@gmail.com (M. Prasolov), skopenkov@rambler.ru (M. Skopenkov)

In this paper we study finite tilings by arbitrary rectangles. The sides of rectangles are assumed to be parallel to the coordinate axes, i. e., either vertical or horizontal. By *the ratio* of a rectangle we mean the length of the horizontal side divided by the length of the vertical side. We study the following problem posed in [17, p. 218] and [20, p. 3]:

Problem 1.2. Which rectangles can be tiled by rectangles of given ratios c_1, \dots, c_n ?

A related problem of *signed* tilings is solved in [20].

We do not put any restrictions on the number of rectangles in the tilings. Each of the ratios c_1, \dots, c_n can be used any number of times or not used at all.

For $n = 1$ and $c_1 = 1$ the question of Problem 1.2 is answered by Theorem 1.1. A necessary condition for arbitrary n was actually proved by M. Dehn: if a rectangle of ratio c can be tiled by rectangles of ratios c_1, \dots, c_n then c is (the value of) a rational function in c_1, \dots, c_n with rational coefficients [18, Lemma 4].

This function depends only on the “combinatorial structure” of the tiling. For instance, if a rectangle of ratio c is dissected into 2 rectangles of ratios c_1 and c_2 by a vertical (respectively, horizontal) cut then $c(c_1, c_2) = c_1 + c_2$ (respectively, $c(c_1, c_2) = \frac{c_1 c_2}{c_1 + c_2}$). The problem reduces to description of possible functions $c(c_1, \dots, c_n)$. By the mentioned physical interpretation this is equivalent to a natural problem: *describe possible formulas $c(c_1, \dots, c_n)$ expressing the conductance of a planar direct-current circuit through the conductances c_1, \dots, c_n of individual resistors.*

The main idea of the paper is to apply *alternating-current* circuits (equivalently, circuits with complex-valued conductances) to the above problems. Our first result is the following theorem.

Theorem 1.3. *Suppose that a rectangle of ratio c can be tiled by rectangles of ratios c_1, \dots, c_n . Then $c = C(c_1, \dots, c_n)$ for some rational function $C(z_1, \dots, z_n)$ having the following properties*

- (1) rationality of coefficients: $C(z_1, \dots, z_n) \in \mathbb{Q}(z_1, \dots, z_n)$;
- (2) homogeneity: $C(tz_1, \dots, tz_n) = tC(z_1, \dots, z_n)$;
- (3) positive reality: *if $\operatorname{Re} z_1, \dots, \operatorname{Re} z_n > 0$ then $\operatorname{Re} C(z_1, \dots, z_n) > 0$.*

Problem 1.4. Is the reciprocal theorem true for $n \geq 3$?

Case $n = 1$ (respectively, $n = 2$) of both Theorem 1.3 and its reciprocal is equivalent to Theorem 1.1 (respectively, to [17, Theorem 5] or else to Corollary 2.7 below). For $n \geq 3$ the reciprocal theorem cannot be proved by our method; see Example 2.8.

Theorem 1.3 has a clear physical meaning; see §2.4. But this theorem (even together with its reciprocal) is not *algorithmic*, i. e., it does not give an algorithm to decide, if there exists a required tiling. Thus it is interesting to get less general but algorithmic results.

A result of this kind was obtained independently by C. Freiling, D. Rinne in 1994 and M. Laczkovich, G. Szekeres in 1995.

Theorem 1.5. [18, 23] *For $c > 0$ the following 3 conditions are equivalent:*

- (1) *a square can be tiled by rectangles of ratios c and $1/c$;*
- (2) *the number c is a root of an integral polynomial such that all the other complex roots have positive real parts;*

(3) for certain positive rational numbers d_1, \dots, d_m we have

$$d_1c + \frac{1}{d_2c + \frac{1}{d_3c + \dots + \frac{1}{d_m c}}} = 1.$$

In particular, a square can be tiled by rectangles of ratios $2 + \sqrt{2}$ and $\frac{1}{2 + \sqrt{2}}$ but cannot be tiled by rectangles of ratios $1 + \sqrt{2}$ and $\frac{1}{1 + \sqrt{2}}$; see [29] for an elementary proof.

We present a new short self-contained proof of Theorem 1.5. This new proof is a natural application of alternating-current circuits. We also get a new algorithmic result:

Theorem 1.6. *For a number $c > 0$ the following 3 conditions are equivalent:*

- (1) a rectangle of ratio c can be tiled by rectangles of ratios c and $1/c$ so that there is at least one rectangle of ratio $1/c$ in the tiling;
- (2) the number c^2 is a root of an integral polynomial such that all the other complex roots are negative real numbers;
- (3) for certain positive rational numbers d_1, \dots, d_m we have

$$\frac{1}{d_1c + \frac{1}{d_2c + \dots + \frac{1}{d_m c}}} = c.$$

More algorithmic results can be found in [17, p. 224] and [27]. For similar results on tiling by triangles see [32]. For higher-dimensional generalizations see [26].

We also consider tilings of arbitrary (not necessarily convex) polygons by rectangles. This generalization reveals new connections between tilings and electrical circuits.

We apply direct-current circuits with several terminals to get a criterion for a “generic” polygon to be tilable by squares; see Theorem 4.3 below, again not algorithmic. This result generalizes Theorem 1.1 and [22, Theorems 9 and 12]. An easier related problem of *signed* tiling by squares is solved in [16, 21].

We apply alternating-current circuits with several terminals to get a short proof of a generalization of Theorem 1.5 to polygons with rational vertices [31]; see Theorem 4.4 below. We also state a basic folklore result on *electrical impedance tomography* for alternating-current circuits, cf. [10, 7, 8, 24].

There is a close relationship among electrical circuits, discrete harmonic functions, and random walks on graphs [12, 25, 1]. Our results have equivalent statements in the language of each of the theories; e. g., see Corollary 4.10 below.

From here the paper splits into two formally independent parts: §§2–3 and §§4–6.

The first part contains the proof of Theorems 1.3, 1.5, 1.6. In §2 the basics of electrical circuits and their connection with tilings are recalled. In §3 the results of §1 are proved.

The second part concerns some variations. In §4 the results on tilings of polygons, electrical impedance tomography, and random walks are stated. In §5 the results of §2 are generalized to electrical circuits with several terminals. In §6 the results of §4 are proved.

2. Main ideas

2.1. Electrical circuits

Our approach is based on electrical circuits theory [28]. However, the reader is not assumed to be familiar with physics. In this section we recall all the required physical

concepts (although the presentation is formal and physical meaning is explained very briefly). This section does not contain new results. For short proofs see §5.

An *electrical network* is a connected graph with a nonnegative real number (*conductance*) assigned to each edge, and two marked (*boundary*) vertices.

For simplicity in this subsection we assume that the graph has neither multiple edges nor loops. Generalizations for graphs with multiple edges are left to the reader. We say that an electrical network is *planar*, if the graph is drawn in the unit disc in such a way that the boundary vertices belong to the boundary of the disc and the edges do not intersect each other.

Fix an enumeration of the vertices $1, 2, \dots, n$ such that 1 and 2 are the boundary ones. It is convenient to denote the number of boundary vertices by $b = 2$. Denote by m the number of edges. Denote by c_{kl} the conductance of the edge between the vertices k and l . Set $c_{kl} = 0$, if there is no edge between k and l .

An *electrical circuit* is an electrical network along with two real numbers U_1 and U_2 (*incoming voltages*) assigned to the boundary vertices.

Each electrical circuit gives rise to certain numbers U_k , where $1 \leq k \leq n$ (*voltages* at the vertices), and I_{kl} , where $1 \leq k, l \leq n$ (*currents* through the edges). These numbers are defined by the following 2 axioms:

- (C) *The Ohm law.* For each pair of vertices k, l we have $I_{kl} = c_{kl}(U_k - U_l)$.
(I) *The Kirchhoff current law.* For each vertex $k > b$ we have $\sum_{l=1}^n I_{kl} = 0$.

Informally law (I) means that electrical charge is not aggregated at the nonboundary vertices. In other words, these laws assert that U_k is a *discrete harmonic function*. The numbers U_k and I_{kl} are well-defined by these axioms by the following classical result.

Theorem 2.1. [34] *For any electrical circuit the system of linear equations (C), (I) in variables U_k , where $b < k \leq n$, and I_{kl} , where $1 \leq k, l \leq n$, has a unique solution.*

Denote by $I_1 = \sum_{k=1}^n I_{1k}$ the current flowing inside the circuit through vertex 1. The *conductance* of an electrical circuit with $U_1 \neq U_2$ is the number $C = I_1/(U_1 - U_2)$. It is easy to see that the conductance does not depend on U_1 and U_2 . Thus *the conductance* of an electrical network is well-defined. The reciprocal of conductance is called *resistance*. Basic examples of networks and their conductances are shown in figure 1.

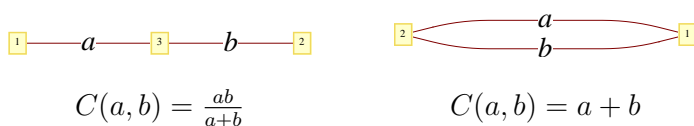


Figure 1: Series and parallel electrical networks

2.2. Circuits and tilings

There is a close relationship between electrical circuits and tilings. We say that an edge kl of a circuit is *essential*, if $I_{kl} \neq 0$. Clearly, this property of an edge does not depend on U_1 and U_2 , if $U_1 \neq U_2$. Thus *essential* edges in an electrical network are well-defined.

Lemma 2.2. [3, 5, Theorem 1.4.1] *The following 2 conditions are equivalent:*

- (1) *a rectangle of ratio c can be tiled by m rectangles of ratios c_1, \dots, c_m ;*
- (2) *there is a planar electrical network having conductance c and consisting of m essential edges of conductances c_1, \dots, c_m .*

Let us sketch the proof of assertion (1) \implies (2). Given a tiling as in (1) construct an electrical network as follows; see Figure 2. Take a point in each horizontal cut of the tiling and in each horizontal side of the tiled rectangle. These points are vertices of the network. For each rectangle in the tiling draw an edge between the vertices in the cuts containing the horizontal sides of the rectangle. Set the conductance of the edge to be the ratio of the rectangle. Then the conductance of the resulting network equals to the ratio of the tiled rectangle; see §5.2 for the details.

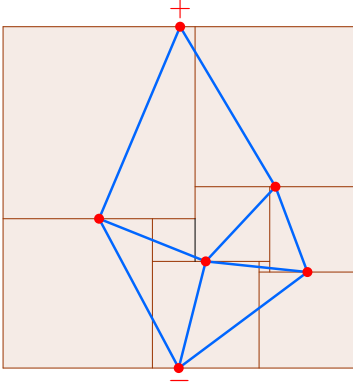


Figure 2: Correspondence between tilings and electrical networks.

2.3. Formulas for conductance

Let us summarize some useful properties of formulas for conductance.

Lemma 2.3. [3, 12, 15] *Suppose that an electrical network consists of m edges of conductances c_1, \dots, c_m . Then the conductance $C(c_1, \dots, c_m)$ of the network has the following properties:*

- (1) rationality: $C(c_1, \dots, c_m) \in \mathbb{Q}(c_1, \dots, c_m)$;
- (2) homogeneity: $C(tc_1, \dots, tc_m) = tC(c_1, \dots, c_m)$;
- (3) $\frac{\partial}{\partial c_j} C(c_1, \dots, c_m) = \left(\frac{U_k - U_l}{U_1 - U_2}\right)^2$, where k and l are the endpoints of the edge j ;
- (4) monotonicity: if $c_1, \dots, c_m > 0$ then $\frac{\partial}{\partial c_j} C(c_1, \dots, c_m) \geq 0$; if the edge j is essential then the latter inequality is strict;
- (5) positive reality: if $\operatorname{Re} c_1, \dots, \operatorname{Re} c_m > 0$ then $\operatorname{Re} C(c_1, \dots, c_m) > 0$.

Remark 2.4. (A. Akopyan, private communication) Property (4) follows from (1), (2), and (5). Property (5) does not follow from (1), (2), and (4); e. g., the function $C(c_1, c_2) = (c_1 + c_2) \frac{c_1^2 + c_2^2}{c_1^2 + 2c_2^2}$ satisfies (1), (2), (4), but not (5).

Property (5) concerns the extension of the function $C(c_1, \dots, c_m)$ to a complex domain. The meaning of this property becomes clear in the context of *alternating-current* circuits. Short proof of the lemma is given in §5.1.

2.4. Alternating current

Let us explain the informal physical meaning of the “positive reality” condition in Lemma 2.3 and Theorem 1.3. This is not used elsewhere in the paper and the reader may easily skip this subsection.

Informally, an *alternating-current circuit* is a collection of conductors, capacitors, inductors and a single alternating-voltage source connected with each other.

Formally, an *alternating-current circuit* is a graph with the following structure:

- two marked (*boundary*) vertices;
- two functions (*voltages*) $\tilde{U}_1(t) = U \cos \omega t$ and $\tilde{U}_2(t) = 0$ assigned to them;
- division of the edges into 3 types (*conductors, capacitors, and inductors*);
- a positive number \tilde{c}_{kl} assigned to each edge (called *conductance, capacitance, or inductance*, depending on the type of edge).

Assume for simplicity that the graph has no multiple edges. The *voltages* $\tilde{U}_k(t)$ and the *currents* $\tilde{I}_{kl}(t)$ are defined by the following axioms:

(\tilde{C}) *The generalized Ohm law.* For each edge kl we have

$$\tilde{I}_{kl}(t) = \begin{cases} \tilde{c}_{kl} \left(\tilde{U}_k(t) - \tilde{U}_l(t) \right), & \text{if } kl \text{ is a conductor;} \\ \tilde{c}_{kl} \frac{d}{dt} \left(\tilde{U}_k(t) - \tilde{U}_l(t) \right), & \text{if } kl \text{ is a capacitor;} \\ \tilde{c}_{kl} \int_{\pi/2\omega}^t \left(\tilde{U}_k(t) - \tilde{U}_l(t) \right) dt, & \text{if } kl \text{ is an inductor.} \end{cases}$$

(\tilde{I}) *The Kirchhoff current law.* For each vertex $k \neq 1, 2$ we have $\sum_{l=1}^n \tilde{I}_{kl}(t) = 0$.

The voltages and the currents can be found using the following well-known algorithm. Denote by $i = \sqrt{-1}$. Put $U_1 = U$, $U_2 = 0$, and

$$c_{kl} = \begin{cases} \tilde{c}_{kl}, & \text{if } kl \text{ is a conductor;} \\ i\omega\tilde{c}_{kl}, & \text{if } kl \text{ is a capacitor;} \\ \frac{1}{i\omega}\tilde{c}_{kl}, & \text{if } kl \text{ is an inductor.} \end{cases}$$

Define the complex numbers U_k , where $3 \leq k \leq n$, and I_{kl} , where $1 \leq k, l \leq n$, by *direct-current* laws (C), (I). Then $\tilde{U}_k(t) = \text{Re}(U_k e^{i\omega t})$, $\tilde{I}_{kl}(t) = \text{Re}(I_{kl} e^{i\omega t})$. In this sense alternating-current circuits are “equivalent” to direct-current circuits with complex-valued conductances (also called *admittances*).

Notice that always $\text{Re } c_{kl} \geq 0$. Physically this means nonnegative *energy dissipation* at the edge kl (which equals to $\text{Re } c_{kl} |U_k - U_l|^2$). Thus a physical meaning of positive reality is: “a network consisting of elements dissipating energy also dissipates energy”.

Furthermore, to each tiling of a rectangle by *similar* rectangles one can assign an alternating-current network; see Figure 3 (formally this is not used in the paper). The graph of the network is the same as in Section 2.2. But instead of resistors, the edges are now either unit capacitors or unit inductors, depending on the orientation of the corresponding rectangles. The constructed alternating-current network is “equivalent” to a direct-current network with complex edge conductances z and $1/z$, where $z = i\omega$.

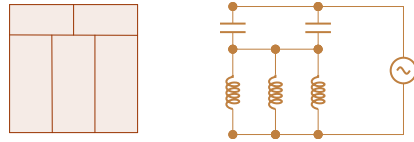


Figure 3: Correspondence between tilings by rectangles and alternating-current networks.

2.5. Inverse problems

The *inverse problem* for electrical networks is to synthesize a network with given conductance from given elements. Let us state some classical results on this subject due to R. M. Foster and W. Cauer. Short proofs are given in §5.3. This subsection is required only for the proof of assertions (2) \implies (3) in Theorems 1.5–1.6.

Theorem 2.5 (Foster’s reactance theorem). [15] *The following properties of a rational function $C(z) \in \mathbb{R}(z)$ are equivalent:*

- (1) $C(i\omega)$ is the admittance of a network consisting of capacitors and inductors, considered as a function in the frequency ω ;
- (2) $C(z)$ is the conductance of an electrical network such that the conductance of each edge j is either $d_j z$ or $1/d_j z$ for some real numbers $d_1, \dots, d_m > 0$;
- (3) $C(z)$ is an odd positive real rational function, i. e., $\operatorname{Re} C(z) > 0$, if $\operatorname{Re} z > 0$.

The proof is based on the following analytic lemma.

Lemma 2.6. [6] *For an odd rational function $C(z) \in \mathbb{R}(z)$ such that $\lim_{z \rightarrow \infty} C(z) \neq 0$ the following 5 conditions are equivalent:*

- (1) if $\operatorname{Re} z > 0$ then $\operatorname{Re} C(z) > 0$;
- (2) if $C(z) = 1$ then $\operatorname{Re} z > 0$;
- (3) if $C(z) = 0$ then $\operatorname{Re} z = 0$ and $C'(z) > 0$;
- (4)

$$C(z) = d_1 z \prod_{k=1}^n \frac{z^2 + a_k^2}{z^2 + b_k^2},$$

for some integer $n \geq 0$ and real numbers $d_1 > 0$, $a_1 > b_1 > a_2 > \dots > b_n \geq 0$;

(5)

$$C(z) = d_1 z + \frac{1}{d_2 z + \dots + \frac{1}{d_m z}}$$

for some integer $m \geq 1$ and real numbers $d_1, \dots, d_m > 0$;

Define inductively a *series-parallel* electrical network. By definition, a network consisting of a single edge is series-parallel. If a and b are two series-parallel networks then both their series and parallel “unions” (see Figure 1) are series-parallel. One can see that condition (5) of the lemma allows us to construct a series-parallel network of conductance $C(z)$ with edges of conductances $d_1 z$, $1/d_2 z$, $d_3 z$, $1/d_4 z$, \dots , $(d_m z)^{(-1)^m}$; see Figure 4. Assertion (2) \implies (5) was proved in [17, Lemma 4] using the results of [33]; our proof following [6] is simpler.

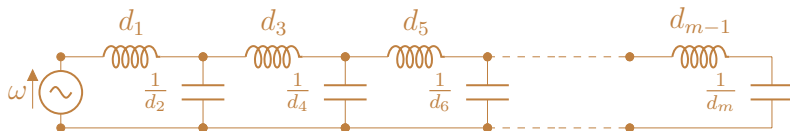


Figure 4: A series-parallel network beyond Lemma 2.6

Corollary 2.7. [6] *If a function $C(c_1, c_2)$ satisfies conditions (1)–(3) of Theorem 1.3 then $C(c_1, c_2)$ is the conductance of a series-parallel electrical network with edge conductances c_1 and c_2 .*

Example 2.8. A generalization of Corollary 2.7 to the case of 3 variables c_1, c_2, c_3 is not true. E. g., take a network with 4 vertices and edge conductances $c_{13} = c_1, c_{23} = c_2, c_{24} = c_1, c_{14} = c_2, c_{34} = c_3$. By Lemma 2.3(3) and a symmetry argument it follows that $\partial C(c_1, c_2, c_3)/\partial c_3 = 0$, if $c_1 = c_2$. So $C(c_1, c_2, c_3)$ cannot be the conductance of a series-parallel network with edge conductances c_1, c_2, c_3 because all the edges of such networks are essential.

3. Proof of main results

3.1. Proof of Theorem 1.3

Hereafter in an *electrical circuit* or *network* we allow the conductances to be arbitrary complex numbers with positive real part. This generalization is motivated by §2.4 (and describes both direct- and alternating-current circuits). Theorem 1.3 is a direct consequence of the results of §2:

Proof of Theorem 1.3. Suppose that a rectangle of ratio c can be tiled by rectangles of ratios c_1, \dots, c_n . By Lemma 2.2 there is an electrical network of conductance c consisting of edges of conductances c_1, \dots, c_n . For each $k = 1, \dots, n$ replace each edge of conductance c_k in the network by an edge of complex conductance $z_k, \operatorname{Re} z_k > 0$. Let $C(z_1, \dots, z_n)$ be the conductance of the resulting network. The function $C(z_1, \dots, z_n)$ has properties (1)–(3) of Theorem 1.3 by Lemma 2.3(1), (2), and (5). \square

3.2. Proof of Theorem 1.5

Proof of Theorem 1.5. (3) \implies (1) [17] Suppose that condition (3) of Theorem 1.5 holds and, say, m is odd. Take a unit square. Cut off a rectangle of ratio d_1c from the square by a vertical cut. The remaining part is a rectangle of ratio

$$1 - d_1c = \frac{1}{d_2c + \dots + \frac{1}{d_m c}}$$

Now cut off a rectangle of ratio $1/d_2c$ from the remaining part by a horizontal cut. We get a rectangle of ratio

$$d_3c + \frac{1}{d_4c + \dots + \frac{1}{d_m c}}$$

Continue this process alternating vertical and horizontal cuts. Condition (3) guarantees that after step $(m - 1)$ we get a rectangle of ratio $d_m c$. We obtain a tiling of the square by rectangles of ratios $d_1c, 1/d_2c, d_3c, 1/d_4c, \dots, d_m c$. Since all $d_k \in \mathbb{Q}$, one can chop the tiling into rectangles of ratios c and $1/c$.

(1) \implies (2). Suppose that a square is tiled by rectangles of ratios c and $1/c$. By Lemma 2.2 there exists an electrical network of conductance 1 with edge conductances c and $1/c$. Replace each edge of conductance c (respectively, $1/c$) in this network by an edge of conductance $z \in \mathbb{C}$ (respectively, $1/z$). Let $C(z)$ be the conductance of the obtained network. Then $C(z) \in \mathbb{Q}(z)$ by Lemma 2.3(1) and $C(z)$ is odd by Lemma 2.3(2).

Since $C(c) = 1$ and $C(z) \in \mathbb{Q}(z)$ is nonconstant it follows that c is algebraic. Let z be an algebraic conjugate of c . Then still $C(z) = 1$.

Let us prove that $\operatorname{Re} z > 0$. First assume that $\operatorname{Re} z < 0$. Then $\operatorname{Re}(-z) > 0$ and $\operatorname{Re}(-1/z) > 0$. Thus by Lemma 2.3(5) we have $0 < \operatorname{Re} C(-z) = -\operatorname{Re} C(z) = -1$, a

contradiction. Now assume that $\operatorname{Re} z = 0$. Let $z_k \rightarrow z$, where each $\operatorname{Re} z_k < 0$. Still $0 < \operatorname{Re} C(-z_k) = -\operatorname{Re} C(z_k) \rightarrow -1$, a contradiction. Thus $\operatorname{Re} z > 0$.

(2) \implies (3) [17] Let $p(z)$ be a minimal polynomial of c . First assume that $\deg p(z)$ is odd. Put $C(z) = \frac{p(-z)-p(z)}{p(-z)+p(z)}$. Then $C(c) = 1$, $C(z) \in \mathbb{Q}(z)$, $\lim_{z \rightarrow \infty} C(z) \neq 0$, $C(z)$ is odd, and all the roots of the equation $C(z) = 1$ have positive real parts. By Lemma 2.6(2) \implies (5) the function $C(z)$ satisfies condition (5) of Lemma 2.6. Since $C(z) \in \mathbb{Q}(z)$ it follows by the Euclidean algorithm that all $d_k \in \mathbb{Q}$. Substituting $z = c$ we get the required condition. In the event that $\deg p(z)$ is even, replace $C(z)$ by $1/C(z)$ and argue as above. \square

3.3. Proof of Theorem 1.6

We use the ideas of §3.2 and §5.3.

Proof of Theorem 1.6. (3) \implies (1) Analogously to the proof of Theorem 1.5, (3) \implies (1).

(1) \implies (2). Suppose that a rectangle of ratio c is tiled by rectangles of ratios c and $1/c$. Rotating through the angle $\pi/2$ and stretching the figure we get a square tiled by squares and rectangles of ratio c^2 . By Lemma 2.2 there exists an electrical network of conductance 1 with edge conductances 1 and c^2 , in which all the edges are essential. Since there is at least one rectangle of ratio $1/c$ in the initial tiling, it follows that the network contains at least one edge of conductance c^2 . Replace each edge of conductance c^2 (respectively, 1) in the network by an edge of conductance $z \in \mathbb{C}$ (respectively, $w \in \mathbb{C}$). Let $C(z, w)$ be the conductance of the obtained network. Denote by $C(z) = C(z, 1)$.

Let us prove that c^2 is algebraic. Indeed, by Lemma 2.3(4) we have $C'(c^2) > 0$ because there is at least one essential edge of conductance c^2 in the network. Thus $C(z)$ is nonconstant. By Lemma 2.3(1) it follows that $C(z) \in \mathbb{Q}(z)$. Since $C(c^2) = 1$ it follows that c^2 is algebraic.

Let z be an algebraic conjugate of c^2 distinct from c^2 itself. Then $C(z, 1) = C(c^2) = 1$.

Let us prove that z is a negative real number. First assume that $\operatorname{Im} z < 0$. Then $\operatorname{Re} iz > 0$. By Lemma 2.3(2) it follows that $\operatorname{Re} C(iz, i) = \operatorname{Re}(iC(z, 1)) = \operatorname{Re} i = 0$. Since $C(iz, i)$ is a rational function it follows that any neighborhood of iz contains a point z' such that $\operatorname{Re} C(z', i) < 0$. If the neighborhood is sufficiently small then $\operatorname{Re} z' > 0$ because $\operatorname{Re} iz > 0$. By continuity, a neighborhood of i contains a point w' such that $\operatorname{Re} w' > 0$ and still $\operatorname{Re} C(z', w') < 0$. These inequalities contradict Lemma 2.3(5). Case $\operatorname{Im} z > 0$ is treated similarly. Assume now that $z > c^2$. Then by Lemma 2.3(4) we have $1 = C(z) > C(c^2) = 1$, a contradiction. Case $0 \leq z < c^2$ is treated similarly. Thus $z < 0$.

(2) \implies (3) Let $p(z)$ be a minimal polynomial of c^2 . Since the roots of a minimal polynomial are simple it follows that $p(z^2) = (z^2 - c^2) \prod_{k=1}^n (z^2 + b_k^2)$ for some $b_1 > \dots > b_n > 0$. Take a polynomial $q(z)$ with rational coefficients such that $q(z) = z \prod_{k=1}^n (z^2 + a_k^2)$, where $a_1 > b_1 > a_2 > \dots > b_n$. Consider the rational function $C(z) = q(z)/(zq(z) - p(z^2))$. We have $C(c) = 1/c$.

Let us check that the function $C(z)$ satisfies condition (3) of Lemma 2.6. Clearly, $C(z)$ is odd and $\lim_{z \rightarrow \infty} C(z) \neq 0$. The roots of $C(z)$ are the numbers $0, \pm ia_1, \dots, \pm ia_n$. A direct evaluation shows that for each $l = 1, \dots, n$

$$C'(\pm ia_l) = -\frac{q'(\pm ia_l)}{p(-a_l^2)} = \frac{2a_l^2}{(c^2 + a_l^2)(a_l^2 - b_l^2)} \prod_{k \neq l} \frac{a_k^2 - a_l^2}{b_k^2 - a_l^2} > 0$$

by the assumption $a_1 > b_1 > a_2 > \dots > b_n > 0$. Analogously $C'(0) = -q'(0)/p(0) > 0$.

Then by Lemma 2.6(3) \implies (5) the function $C(z)$ satisfies condition (5) of Lemma 2.6. Since $C(z) \in \mathbb{Q}(z)$ it follows by the Euclidean algorithm that all $d_k \in \mathbb{Q}$. Substituting $z = c$ we get the required condition. \square

4. Variations

4.1. Tilings of polygons by rectangles

In this subsection we study the following problem.

Problem 4.1. Which polygons can be tiled by rectangles of given ratios c_1, \dots, c_n ?

A related problem of *signed* tilings is solved in [21].

Case $n = 1$, $c_1 = 1$ of the problem is a description of polygons which can be tiled by squares, a problem posed in [16]. In the case of hexagons the description was obtained by R. Kenyon; see Figure 5:

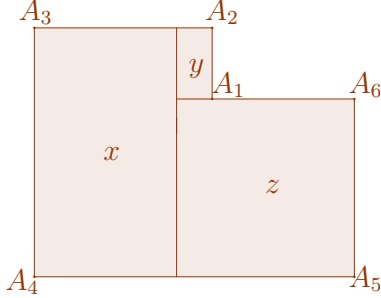


Figure 5: L-shaped hexagon.

Theorem 4.2. (cf. [22, Theorem 9]) *Let $A_1A_2A_3A_4A_5A_6$ be a hexagon with right angles whose vertices are enumerated counterclockwise starting from the vertex of the nonconvex angle. The hexagon $A_1A_2A_3A_4A_5A_6$ can be tiled by squares if and only if the system*

$$\begin{cases} A_3A_4 \cdot x + A_1A_2 \cdot y &= A_2A_3, \\ A_5A_6 \cdot z - A_1A_2 \cdot y &= A_6A_1; \end{cases}$$

has a nonnegative rational solution x, y, z .

The proof of sufficiency is easy: given rational $x, y, z \geq 0$ satisfying the system one can dissect the hexagon into 3 rectangles of ratios x, y, z and then into squares; see Figure 5.

Our aim now is to give a similar criterion for a wide class of polygons.

Hereafter P is an *orthogonal* polygon, i. e., a polygon with the sides parallel to coordinate axes. Hereafter P is *simple*, i. e., the boundary ∂P is connected. Let b be the number of the sides parallel to the x -axis. Enumerate the horizontal sides counterclockwise in ∂P . Let I_u be the *signed length* of the side u , where the sign of I_u is “+” (“−”) if the P locally lies below (above) the side u . Let U_u be the y -coordinate of the side u . Assume that P is “*generic*” in the following sense: the numbers U_1, \dots, U_b are pairwise distinct.

We need the following notion [10]. A sequence (p_1, \dots, p_{2k}) of distinct integers in the interval $[1, b]$ is *circularly ordered*, if a cyclic permutation of the sequence is an increasing sequence. Denote by Ω_b the set of all the real $b \times b$ matrices C_{uv} having the following properties:

- (1) *symmetry*: $C_{uv} = C_{vu}$;
- (2) *zero sum of each row*: $\sum_{1 \leq u \leq b} C_{uv} = 0$;
- (3) *total non-negativity of certain “minors”*: for each circularly ordered sequence (p_1, \dots, p_{2k}) we have: $\det\{-C_{p_i p_{2k-j+1}}\}_{i,j=1}^k \geq 0$.

E. g., the set Ω_3 consists of matrices of the form $\begin{pmatrix} x+y & -x & -y \\ -x & x+z & -z \\ -y & -z & y+z \end{pmatrix}$, where $x, y, z \geq 0$.

Theorem 4.3. *Let P be a “generic” simple orthogonal polygon with b horizontal sides having signed lengths I_1, \dots, I_b and y -coordinates U_1, \dots, U_b . Then the following 2 conditions are equivalent:*

- (1) *the polygon P can be tiled by squares;*
- (2) *there is a matrix $C_{uv} \in \Omega_b$ with rational entries such that $I_v = \sum_{u=1}^b C_{uv}U_u$ for each $v = 1, \dots, b$.*

Cases $b = 2$ and $b = 3$ of this theorem are equivalent to Theorem 1.1 and [22, Theorem 9], respectively. Theorem 4.3 is algorithmic for the particular class of polygons P such that U_1, \dots, U_b are linearly independent over \mathbb{Q} . Proof of the theorem is constructive, i. e., gives an algorithm to construct the required tiling, if the latter exists. However, when $b \geq 4$ the algorithm becomes complicated compared to the cases of $b = 2$ and $b = 3$. Theorem 4.3 does not necessarily hold for “nongeneric” polygons, e. g., for an orthogonal polygon with parameters

$$U_1 = U_3 = 0, \quad U_2 = 2, \quad U_4 = -4, \quad I_1 = \sqrt{2}, \quad I_2 = 2, \quad I_3 = 2 - \sqrt{2}, \quad I_4 = -4.$$

We prove Theorem 4.3 in §6. We also give a short proof of the following result:

Theorem 4.4. [31] *A “generic” simple orthogonal polygon with rational vertices can be tiled by rectangles of ratios c and $1/c$ if and only if a square can be tiled by rectangles of ratios c and $1/c$.*

4.2. Electrical impedance tomography

Our approach to Problem 4.1 follows the idea of [22, 8] and uses electrical networks with several terminals.

Hereafter we allow electrical circuits to have several boundary vertices $1, \dots, b$ with prescribed voltages U_1, \dots, U_b . If an electrical circuit is planar then we assume that the boundary vertices are enumerated counterclockwise along the boundary of the unit disc. We do *not* assume that an electrical circuit is connected but require that each connected component contains a boundary vertex. The voltages and currents in such circuits are defined by the Ohm law (C) and the Kirchhoff current law (I) from §2.

Consider the linear map $\mathbb{C}^b \rightarrow \mathbb{C}^b$ which takes the vector of voltages (U_1, \dots, U_b) to the vector of *incoming currents* $(I_1, \dots, I_b) = (\sum_{k=1}^n I_{1k}, \dots, \sum_{k=1}^n I_{bk})$ flowing inside the network through the vertices $1, \dots, b$, respectively. The matrix C_{uv} of this linear map is called *the response* of the network. This matrix is symmetric [10]. For $b = 2$ the response of a network is $\begin{pmatrix} c & -c \\ -c & c \end{pmatrix}$, where C is the conductance of the network.

We reduce the results of §4.1 to *the inverse problem* for electrical networks, which is to synthesize a network having given response. This is a discrete analogue of *electrical impedance tomography* [4, 30]. This problem was posed in [24] and solved for planar direct-current networks in [9, 10, 7, 8]. Let us state certain deep results of Y. Colin de Verdière, E. B. Curtis, and J. A. Morrow.

Theorem 4.5. [10, 9, 8, Theorem 5] *The set of all possible responses of planar electrical networks with b boundary vertices and positive edge conductances is the set Ω_b from §4.1.*

An electrical network is *minimal* (or *critical*) if it has minimal number of edges among all planar electrical networks with positive edge conductances and with the same response. The minimality of a network depends only on its graph [8]. In [10, 9, §9] an algorithm

for finding edge conductances in a minimal network with given response is presented. This algorithm implies easily the following result (D. Ingerman, J. A. Morrow, private communication).

Theorem 4.6. *Conductances of the edges in a minimal electrical network are uniquely determined by the response of the network. Each edge conductance is a rational function with rational coefficients in the entries of the response.*

For *alternating-current* networks the inverse problem is probably open [15]. Let us state a basic folklore result. The rest of §4 is not used in the proof of the above theorems. However, the authors believe that any further progress in Problems 1.2 and 4.1 requires a generalization of the results stated below.

Theorem 4.7. *For $b = 2$ or $b = 3$ the following 2 conditions are equivalent:*

- (1) C_{uv} is the response of a connected electrical network with b boundary vertices and with edge conductances having positive real parts;
- (2) C_{uv} is a complex $b \times b$ matrix having the following properties:
 - symmetry: $C_{uv} = C_{vu}$;
 - zero sum of each row: $\sum_{1 \leq u \leq b} C_{uv} = 0$;
 - positive reality: $\sum_{1 \leq u, v \leq b} (\operatorname{Re} C_{uv}) U_u U_v \geq 0$ for any $U_1, \dots, U_b \in \mathbb{R}$;
 - almost positively definiteness: *the latter inequality is strict unless $U_1 = \dots = U_b$.*

Problem 4.8. Does this result remain true for arbitrary $b \geq 4$?

4.3. Random walks

A *random walk* on an electrical network (or on a *weighted graph*) is the Markov chain with the transition matrix $P_{kl} = c_{kl} / \sum_{j=1}^n c_{jk}$. Such Markov chain is ergodic and reversible. Denote by $k_1 l_1, \dots, k_m l_m$ all the edges of the Markov chain. The following theorem allows to translate the results of §1–§2 to the language of random walks.

Theorem 4.9. [12, page 42] *Let $P(c_{k_1 l_1}, \dots, c_{k_m l_m})$ be the probability that a random walk starting at vertex 1 reaches vertex 2 before returning to 1. Let $C(c_{k_1 l_1}, \dots, c_{k_m l_m})$ be the conductance of the network (with boundary vertices 1 and 2). Then $P(c_{k_1 l_1}, \dots, c_{k_m l_m}) = C(c_{k_1 l_1}, \dots, c_{k_m l_m}) / (c_{12} + \dots + c_{1n})$.*

For instance, a translation of Lemmas 2.3(1) and (5) is the following result:

Corollary 4.10. *The probability $P(c_{k_1 l_1}, \dots, c_{k_m l_m})$ is a rational function in $c_{k_1 l_1}, \dots, c_{k_m l_m}$ such that: if $\operatorname{Re} c_{k_1 l_1}, \dots, \operatorname{Re} c_{k_m l_m} > 0$ then $\operatorname{Re} ((c_{12} + \dots + c_{1n}) P(c_{k_1 l_1}, \dots, c_{k_m l_m})) > 0$.*

The latter result does not necessarily hold for *nonreversible* Markov chains; e. g., for a Markov chain with vertices 1, 2, 3, 4 and oriented edges 14, 42, 43.

In [14] a related result for non-reversible Markov chains was obtained by means of the results of electrical impedance tomography stated in §4.2.

Nonreversible planar Markov chains have a geometric interpretation as tilings of trapezoids by trapezoids [22]. Here a *trapezoid* is a quadrilateral with two sides parallel to the x -axis. Natural problems are: *generalize the results of the paper to tilings by trapezoids; infinite tilings; signed tilings.*

5. Generalization of main ideas

5.1. Electrical circuits

Our approach is based on a generalization of the results of §2 to electrical circuits with b terminals. Short proofs of the results of §2 are obtained in this section for the particular case of $b = 2$. Our proof of Lemma 5.2(3) generalizing Lemma 2.3(3) is probably new. For simplicity in this subsection assume that the circuits do not have multiple edges. All the proofs are based on the following fundamental *energy conservation law*.

Lemma 5.1. *Let $E(U, I)$ be a bilinear or sesquilinear function. Consider an electrical network with the vertices $1, \dots, n$ such that $1, \dots, b$ are the boundary ones. Suppose that the numbers U_k , where $1 \leq k \leq n$, and I_{kl} , where $1 \leq k, l \leq n$, obey the Ohm law (C) and the Kirchhoff current law (I) from §2. Set $I_u = \sum_{k=1}^n I_{uk}$. Then*

$$\sum_{1 \leq k < l \leq n} E(U_k - U_l, I_{kl}) = \sum_{1 \leq u \leq b} E(U_u, I_u).$$

We usually apply this lemma to the *energy dissipation* function $E(U, I) = \operatorname{Re}(U\bar{I})$.

Proof of Lemma 5.1. By law (C) we have $I_{lk} = -I_{kl}$. Hence by law (I) we have

$$\sum_{1 \leq k < l \leq n} E(U_k - U_l, I_{kl}) = \sum_{k=1}^n E(U_k, \sum_{l=1}^n I_{kl}) = \sum_{1 \leq u \leq b} E(U_u, I_u).$$

□

Let us prove Theorem 2.1 for electrical circuits with b boundary vertices and with complex edge conductances having positive real part.

Proof of Theorem 2.1. Uniqueness. Suppose there are two collections of currents $I_{kl}^{I, II}$ and voltages $U_k^{I, II}$ obeying laws (C), (I). Then their differences $I_{kl} = I_{kl}^I - I_{kl}^{II}$ and $U_k = U_k^I - U_k^{II}$ obey laws (C), (I) for zero incoming voltages $U_1 = \dots = U_b = 0$. Then by Lemma 5.1 we have

$$\sum_{1 \leq k < l \leq n} \operatorname{Re} \bar{c}_{kl} |U_k - U_l|^2 = \sum_{1 \leq k < l \leq n} \operatorname{Re}((U_k - U_l)\bar{I}_{kl}) = \sum_{1 \leq u \leq b} \operatorname{Re}(U_u \bar{I}_u) = 0.$$

For each k, l we have either $\operatorname{Re} c_{kl} > 0$ or $c_{kl} = 0$. Thus each summand $\operatorname{Re} \bar{c}_{kl} |U_k - U_l|^2 = 0$. Since all the connected components of the circuit contain boundary vertices it follows that all the voltages U_k are equal to each other. Hence $U_k = 0$, $I_{kl} = 0$, and thus $I_{kl}^I = I_{kl}^{II}$, $U_k^I = U_k^{II}$ for each k, l .

Existence. The number of equations in the system (C), (I) equals the number of variables. We have proved that the system has a unique solution for $U_1 = \dots = U_b = 0$. By the finite-dimensional Fredholm alternative it has a solution for any U_1, \dots, U_b . □

The following result generalizes Lemma 2.3.

Lemma 5.2. *Suppose that an electrical network has b boundary vertices and m edges of conductances c_1, \dots, c_m . Then the response of the network $C_{uv}(c_1, \dots, c_m)$ has the following properties:*

- (1) $C_{uv}(c_1, \dots, c_m) \in \mathbb{Q}(c_1, \dots, c_m)^{b \times b}$;
- (2) $C_{uv}(tc_1, \dots, tc_m) = tC_{uv}(c_1, \dots, c_m)$;

- (3) $\frac{\partial}{\partial c_j} C_{uv}(c_1, \dots, c_m) = (V_{ku} - V_{lu})(V_{kv} - V_{lv})$, where k and l are the endpoints of the edge j and V_{pq} is the matrix of the linear map $(U_1, \dots, U_b) \mapsto (U_1, \dots, U_n)$;
- (4) if $c_1, \dots, c_m > 0$ then $\frac{\partial}{\partial c_j} C_{uv}(c_1, \dots, c_m)$ is non-negatively definite;
- (5) if $\operatorname{Re} c_1, \dots, \operatorname{Re} c_m > 0$ then $\operatorname{Re} C_{uv}(c_1, \dots, c_m)$ is non-negatively definite.

Proof of Lemma 5.2. (1) By Theorem 2.1 and the Cramer rule the solution $\{I_{kl}(U_1, \dots, U_b)\}$ of the system of linear equations (C), (I) consists of linear functions in U_1, \dots, U_b with coefficients being rational functions in c_1, \dots, c_m . So the entries of the matrix of the linear map $(U_1, \dots, U_b) \mapsto \sum_{k=1}^n I_{uk}(U_1, \dots, U_b)$ are rational functions in c_1, \dots, c_m .

(2) Consider the system of linear equations obtained from laws (C), (I) by substituting tc_1, \dots, tc_m for c_1, \dots, c_m . It defines the same voltages as the initial one and the currents are scaled by t . So $C(tc_1, \dots, tc_m) = tC(c_1, \dots, c_m)$.

(3) Fix the voltages U_1, \dots, U_b and all the conductances c_{pq} except c_{kl} . Consider the voltages and the currents in the circuit as functions in c_{kl} . Set $E(U, I) = U \frac{\partial I}{\partial c_{kl}} - \frac{\partial U}{\partial c_{kl}} I$. Then $E(U_k - U_l, I_{kl}) = (U_k - U_l)^2$ and $E(U_p - U_q, I_{pq}) = 0$ for $pq \neq kl$. Thus by Lemma 5.1 we have

$$\begin{aligned} \sum_{1 \leq u, v \leq b} \frac{\partial C_{uv}}{\partial c_{kl}} U_u U_v &= \sum_{1 \leq u \leq b} E(U_u, I_u) = \sum_{1 \leq p < q \leq n} E(U_p - U_q, I_{pq}) = \\ &= (U_k - U_l)^2 = \sum_{1 \leq u, v \leq b} (V_{ku} - V_{lu})(V_{kv} - V_{lv}) U_u U_v. \end{aligned}$$

(4) This follows directly from the latter formula.

(5) For each k, l we have either $\operatorname{Re} c_{kl} > 0$ or $c_{kl} = 0$. Take $U_1, \dots, U_b \in \mathbb{R}$ (although the argument below works for complex voltages as well). By Lemma 5.1 we have

$$\begin{aligned} \sum_{1 \leq u, v \leq b} (\operatorname{Re} C_{uv}) U_u \bar{U}_v &= \sum_{1 \leq u, v \leq b} \operatorname{Re}(U_u \bar{C}_{uv} \bar{U}_v) = \sum_{1 \leq u \leq b} \operatorname{Re}(U_u \bar{I}_u) = \\ &= \sum_{1 \leq k < l \leq n} \operatorname{Re}((U_k - U_l) \bar{I}_{kl}) = \sum_{1 \leq k < l \leq n} \operatorname{Re} c_{kl} |U_k - U_l|^2 \geq 0. \end{aligned}$$

□

Remark 5.3. For a connected network the latter inequality is strict unless $U_1 = \dots = U_b$. We have $C_{uv} = C_{vu}$ (which is also proved by an appropriate energy conservation argument).

5.2. Circuits and tilings

We extend the ideas of [1, 22] to get the following generalization of Lemma 2.2. The main difficulty is to guarantee the absence of “saddle” vertices in the network.

Lemma 5.4. *Let P be a “generic” simple orthogonal polygon with horizontal sides of signed lengths I_1, \dots, I_b and y -coordinates U_1, \dots, U_b . Then the following 2 conditions are equivalent:*

- (1) the polygon P can be tiled by m rectangles of ratios c_1, \dots, c_m ;
- (2) there is a planar electrical circuit with b boundary vertices, m essential edges of conductances $c_1, \dots, c_m > 0$, incoming voltages U_1, \dots, U_b and incoming currents I_1, \dots, I_b .

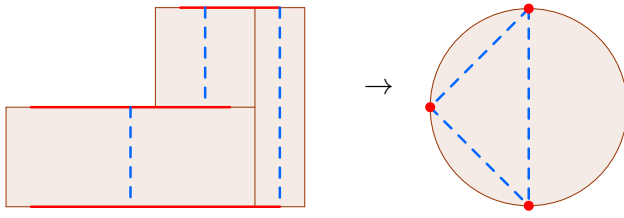


Figure 6: Construction of an electrical network.

Remark 5.5. Condition (2) itself does not guarantee the existence of a orthogonal polygon with horizontal sides of signed lengths I_1, \dots, I_b and y -coordinates U_1, \dots, U_b . Lemma 5.4(1) \implies (2) is not necessarily true for “nongeneric” polygons.

Proof of Lemma 5.4. (1) \implies (2). Take a “generic” polygon P tiled by rectangles.

Let us construct the graph of the required network; see Figure 6. Consider the union of the horizontal sides of all the rectangles in the tiling. This union splits into several disjoint segments called *horizontal cuts*. Paint red (bold) each horizontal cut except small neighborhoods of its endpoints. Paint blue (dashed) the vertical centerline of each rectangle in the tiling.

Contract all red segments. Then the blue set “becomes” a graph G and the polygon P “becomes” a topological disc D (since the y -coordinates of the horizontal sides of P are distinct it follows that the intersection of each red segment with the boundary ∂P is connected). Denote by $1, \dots, b$ the vertices of the graph G belonging to the boundary ∂D and denote by $b + 1, \dots, n$ all the other vertices. Clearly, each connected component of G contains a boundary vertex. Thus G is a graph of a planar network.

Let us define voltages, currents, and conductances in the network. For each vertex $k = 1, \dots, n$ of the graph G set U_k to be the y -coordinate of the horizontal red segment contracted to the vertex. For each edge kl of the graph G , obtained from the vertical centerline of a rectangle in the tiling, set I_{kl} and c_{kl} to be the horizontal side (with an appropriate sign) and the ratio of the rectangle, respectively. The laws (C), (I) are now checked directly. The constructed network is the required network.

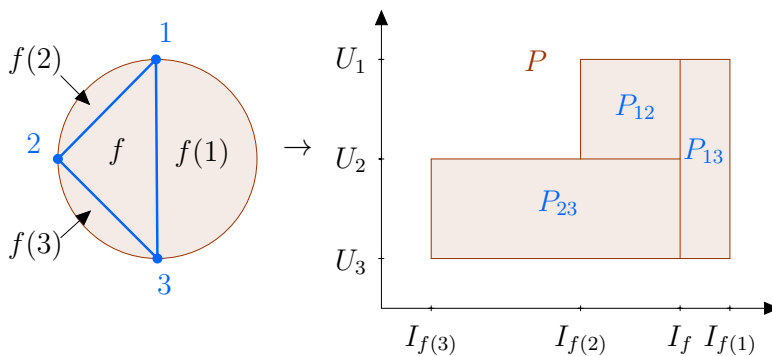


Figure 7: Construction of a tiling.

(2) \implies (1). Take an electrical network as in (2). Construct a tiling of P as follows.

Let e be an edge of the network. Denote by $e \uparrow$ ($e \downarrow$) the endpoint of e with higher (lower) voltage (it is well-defined because all the edges are essential). By a *face* we mean a connected component of the complement to the network in the unit disc D . Denote by

$e \leftarrow$ ($e \rightarrow$) the face that borders the edge e from the left-hand (right-hand) side while one moves along the edge e from $e \uparrow$ to $e \downarrow$.

By law (I) it follows that to each face f one can assign a number I_f in such a way that $I_{kl\rightarrow} - I_{kl\leftarrow} = |I_{kl}|$. Without loss of generality assume $\min_f I_f = \min_{(x,y) \in P} x$, where the minimum in the left-hand side is over all the faces f meeting ∂D .

Let P_e be the rectangle with the vertices $(I_{e\leftarrow}, U_{e\uparrow}), (I_{e\leftarrow}, U_{e\downarrow}), (I_{e\rightarrow}, U_{e\uparrow}), (I_{e\rightarrow}, U_{e\downarrow})$. The rectangles P_e , where e runs through all the edges of the network, tile the polygon P by the following two lemmas (the rectangles P_e cover P by Lemma 5.6 and do not overlap by Lemma 5.7). \square

Lemma 5.6. $\bigcup_e P_e = P$.

Proof. It suffices to prove that $\partial \bigcup_e P_e \subset \partial P$. Since ∂P is connected and $\bigcup_e P_e$ is bounded, the lemma will follow.

We need the following description of the boundary ∂P ; see Figure 7. Boundary vertices split ∂D into b arcs. Start from vertex b and move along the circle ∂D counterclockwise. Enumerate the arcs in the order they appear in the motion. Denote by $f(v)$ the face containing the arc v . Denote by H_v the segment joining the points $(I_{f(v)}, U_v)$ and $(I_{f(v+1)}, U_v)$, where we set $f(b+1) = f(1)$. Denote by V_v the segment joining the points $(I_{f(v)}, U_{v-1})$ and $(I_{f(v)}, U_v)$, where we set $U_0 = U_b$. Clearly, $\partial P = \bigcup_{v=1}^b (H_v \cup V_v)$.

Take a “general position” point $p \in \partial \bigcup_e P_e$, say, in a horizontal side of the “polygon” $\bigcup_e P_e$. Without loss of generality assume that the point p belongs to the top side of a rectangle P_e . Denote by $v = e \uparrow$ the vertex of the edge e of higher voltage.

Draw a horizontal line H through the top side of the rectangle P_e . We say that a rectangle P_d is *adjacent* if the vertex v is an endpoint of the edge d . Adjacent rectangles border upon the line H either from above or from below.

First assume that the vertex v is nonboundary. Let us show that each point of H (besides a finite set) is bordered by the same number of adjacent rectangles from above and from below. Indeed, the intersection of an adjacent rectangle P_d and the line H is the *touching* segment with the endpoints points $(I_{d\leftarrow}, U_v)$ and $(I_{d\rightarrow}, U_v)$. Orient the segment from the left to the right (the right to the left), if the rectangle P_d borders upon the line H from above (below). Then the “head” of each touching segment is a “tail” of another touching segment. Hence almost each point of the line H belongs to the same number of touching segments of each orientation.

Now, since the rectangle P_e borders upon the point p from below and p is in “general position” it follows that some adjacent rectangle P_d borders upon it from above. Thus p belongs to $\text{Int}(P_e \cup P_d) \subset \text{Int} \bigcup_e P_e$, a contradiction.

So v is a boundary vertex. Analogously to the above, each point of $H - H_v$ (besides a finite set) is bordered by the same number of adjacent rectangles from above and from below. Hence $p \in H_v$ and thus $p \in \partial P$. \square

Lemma 5.7. $\sum_e \text{Area}(P_e) = \text{Area}(P)$.

Proof. This follows immediately from Lemma 5.1 because $\text{Area}(P_{kl}) = (U_k - U_l)I_{kl}$ and $\text{Area}(P) = \sum_{1 \leq u \leq b} U_u I_u$. \square

5.3. Inverse problems

First let us present a proof of Lemma 2.6 following [6]. For generalizations to the case $b > 2$ see [15] and references therein.

Proof of Lemma 2.6. (1) \implies (2). Indeed, if $\operatorname{Re} z \leq 0$ then $\operatorname{Re} C(z) = -\operatorname{Re} C(-z) \leq 0$ and thus $C(z) \neq 1$.

(2) \implies (1). Consider the equation $C(z) = w$. Move w continuously in the half-plane $\operatorname{Re} w > 0$. The roots cannot cross the line $\operatorname{Re} z = 0$ (because $\operatorname{Re} z = 0$ implies $\operatorname{Re} C(z) = 0$ for an odd function $C(z) \in \mathbb{R}(z)$). Thus for each w in the half-plane $\operatorname{Re} w > 0$ all roots of $C(z) = w$ are in the half-plane $\operatorname{Re} z > 0$. Since $C(z)$ is odd it follows that the same is true for the half-planes $\operatorname{Re} w < 0$, $\operatorname{Re} z < 0$. So (1) holds.

(1) \implies (3). Suppose that $C(z) = 0$. Then $\operatorname{Re} z = 0$ because $\operatorname{Re} z > 0 \implies \operatorname{Re} C(z) > 0$ and $\operatorname{Re} z < 0 \implies \operatorname{Re} C(z) = -\operatorname{Re} C(-z) < 0$. Since implication (1) and its converse hold in a neighborhood of the point z it follows that $C'(z) > 0$.

(3) \implies (4) Let z_1, \dots, z_m be the roots of $C(z)$. Since $C'(z_k) > 0$ it follows that the roots are simple. Thus $C(z)$ has not more than m poles. The roots split the projective line $\operatorname{Re} z = 0$ into m “segments”. Since $C'(z_k) > 0$ it follows that for sufficiently small $\epsilon > 0$ we have $i \cdot C(z_k - i\epsilon) > 0$ and $i \cdot C(z_k + i\epsilon) < 0$. By the intermediate value theorem it follows that each “segment” contains a pole of $C(z)$. Thus all the m poles of $C(z)$ belong to the projective line $\operatorname{Re} z = 0$ and alternate with the roots. So (4) holds.

(4) \implies (5). Denote by $ht C(z)$ the sum of the degrees of the nominator and the denominator of $C(z)$. The proof is by induction over $ht C(z)$. If $ht C(z) = 1$ then there is nothing to prove. Now assume that $n \geq 1$ and, say, $b_n \neq 0$ in condition (4).

Denote by $r(z) = 1/(C(z) - d_1 z)$ and $q(z) = 1/C(z)$. Let us prove that $r(z)$ satisfies condition (3). Indeed, clearly $\lim_{z \rightarrow \infty} r(z) \neq 0$ and $r(z)$ is odd. The roots of $r(z)$ are the numbers $\pm i b_1, \dots, \pm i b_n$. For each $l = 1, \dots, n$

$$r'(\pm i b_l) = q'(\pm i b_l) = \frac{2}{d_1(a_l^2 - b_l^2)} \prod_{k \neq l} \frac{b_k^2 - b_l^2}{a_k^2 - b_l^2} > 0$$

by the condition $a_1 > b_1 > a_2 > \dots > b_n \geq 0$.

Hence by Lemma 2.6(3) \implies (4) it follows that $r(z)$ satisfies condition (4) as well. On the other hand, $ht r(z) < ht C(z)$. By the inductive hypothesis, $r(z)$ satisfies condition (5). Thus $C(z) = d_1 z + 1/r(z)$ also satisfies condition (5).

(5) \implies (1). This is proved by induction over m . □

Proof of Theorem 2.5. (1) \implies (2). This immediately follows from the definitions; see §2.4.

(2) \implies (3). This follows from Lemma 2.3(2) and (5).

(3) \implies (1). First assume $\lim_{z \rightarrow \infty} C(z) \neq 0$. Then by Lemma 2.6(1) \implies (5) condition (5) holds. Then the required series-parallel network with edges of conductances $d_1 z, 1/d_2 z, d_3 z, 1/d_4 z, \dots, (d_m z)^{(-1)^m}$ is constructed directly; cf. §3.2.

Now assume $\lim_{z \rightarrow \infty} C(z) = 0$. Apply Lemma 2.6(1) \implies (5) to the function $1/C(z)$. Then the function $C(z)$ satisfies condition (5) of Lemma 2.6 with the only difference that $d_1 = 0$. The construction of the previous paragraph still leads to the required network. □

Remark 5.8. If $C(z) \in \mathbb{Q}(z)$ then we may assume the network in condition (2) of Theorem 2.5 is series-parallel and each number d_j is rational.

Proof of Corollary 2.7. By condition (2) of Theorem 1.3 we have $C(c_1, c_2) = \sqrt{c_1 c_2} C(z)$, where $C(z) = C(z, 1/z)$ and $z = \sqrt{c_1/c_2}$. By Theorem 2.5(3) \implies (1) and Remark 5.8 it follows that there is a series-parallel network of conductance $C(z)$ such that the conductance of each edge j is either $d_j z$ or $1/d_j z$ for some $d_1, \dots, d_m \in \mathbb{Q}$. Replace each edge by an appropriate series-parallel subnetwork to get a new network with edge conductances z and $1/z$. Multiplying the conductance of each edge by $\sqrt{c_1 c_2}$ we get the required network. □

6. Proof of variations

6.1. Proof of Theorem 4.3

Proof of Theorem 4.3. (1) \implies (2). Let the polygon P be tiled by squares. By Lemma 5.4 there is a planar electrical circuit with edge conductances 1, incoming voltages U_1, \dots, U_b , and incoming currents I_1, \dots, I_b . Let C_{uv} be the response of the circuit. Then $I_v = \sum C_{uv}U_u$. By Lemma 5.2(1) all the entries of C_{uv} are rational. By Theorem 4.5 we have $C_{uv} \in \Omega_b$.

(2) \implies (1). Let $C_{uv} \in \Omega_b$ be a matrix with rational entries such that $I_v = \sum C_{uv}U_u$. By Theorem 4.5 there are planar electrical networks with the response C_{uv} . Take a minimal network with this property. By Theorem 4.6 the conductance of each edge of the network is rational. Set the incoming voltages to be U_1, \dots, U_b . Then the incoming currents are I_1, \dots, I_b . Delete all the unessential edges from the circuit. By Lemma 5.4 it follows that the polygon P can be tiled by rectangles of rational ratio, and hence by squares. \square

Corollary 6.1. (of Lemmas 5.2, 5.4, and Theorem 4.5) *Let P be a “generic” orthogonal polygon P with b horizontal sides having signed length I_1, \dots, I_b and y -coordinates U_1, \dots, U_b . Suppose that the polygon P can be tiled by rectangles of ratios c_1, \dots, c_n . Then there is a function $C_{uv}(z_1, \dots, z_n)$ satisfying conditions (1), (2), and (5) of Lemma 5.2 such that $C_{uv}(c_1, \dots, c_n) \in \Omega_b$ and $I_v = \sum_{1 \leq u \leq b} C_{uv}(c_1, \dots, c_n)U_u$ for each $v = 1, \dots, b$.*

6.2. Proof of Theorem 4.4

Proof of Theorem 4.4. \Leftarrow . This holds because a polygon with rational vertices can be tiled by squares.

\implies . Let P be tiled by rectangles of ratios c and $1/c$. Let us prove analogously to the proof of Theorem 1.5(1) \implies (2) that all algebraic conjugates of c have positive real parts. Then Theorem 4.4 will follow from Theorem 1.5(2) \implies (1).

Consider the circuit given by Lemma 5.4. Replace each edge of conductance c (respectively, $1/c$) in the circuit by an edge of conductance $z \in \mathbb{C}$ (respectively, $1/z$). Let $C_{uv}(z)$ be the response of the obtained circuit. Consider the *energy dissipation* function $E(z) = \sum_{1 \leq u, v \leq b} C_{uv}(z)U_uU_v$. Since each $U_u \in \mathbb{Q}$ it follows by Lemma 5.2(1) that $E(z) \in \mathbb{Q}(z)$. By Lemma 5.2(2) it follows that $E(z)$ is odd. Clearly, $E(c) = \sum_{1 \leq u \leq b} I_uU_u = \text{Area}(P)$. Thus $E(c) \in \mathbb{Q}$ and $E(c) > 0$.

Since $E(z) \in \mathbb{Q}(z)$, $E(z)$ is nonconstant, and $E(c) \in \mathbb{Q}$ it follows that c is algebraic. Let z be an algebraic conjugate of c . Then $E(z) = E(c) > 0$.

Let us prove that $\text{Re } z > 0$. Indeed, first assume that $\text{Re } z < 0$. Then by Lemma 5.2(5) we have $0 \leq \text{Re } E(-z) = -\text{Re } E(z) < 0$, a contradiction. A simple limiting argument shows that assumption $\text{Re } z = 0$ also leads to a contradiction. Thus $\text{Re } z > 0$. \square

6.3. Proof of Theorem 4.7

Proof of Theorem 4.7. (1) \implies (2). This follows from Lemma 5.2(5) and Remark 5.3.

(2) \implies (1). For $b = 2$ there is nothing to prove. Assume that $b = 3$. Let $\delta > 0$ be a small number, $r_{uv} = -\text{Re } C_{uv} - \delta$, $m_{uv} = -\text{Im } C_{uv}$. By the almost positive definiteness it follows that $\text{Re} \begin{pmatrix} c_{11} & c_{12} \\ c_{21} & c_{22} \end{pmatrix}$ is positively definite. Thus $\begin{pmatrix} r_{31} + r_{12} & -r_{12} \\ -r_{12} & r_{12} + r_{23} \end{pmatrix}$ is positively definite for sufficiently small δ . Hence $r_{12} + r_{23}, r_{31} + r_{12}, r_{12}r_{23} + r_{23}r_{31} + r_{31}r_{12} > 0$. Analogously $r_{23} + r_{31} > 0$. Thus at least two of the numbers r_{12}, r_{23}, r_{31} are positive.

If $r_{12}, r_{23}, r_{31} > 0$ then the required network is a triangle with vertices 1, 2, 3 and with edge conductances $c_{kl} = r_{kl} + im_{kl} + \delta$.

Now assume that exactly one of the numbers r_{12}, r_{23}, r_{31} , say, r_{31} is nonpositive. Take a large number M and denote by $\Delta_M = r_{12}r_{23} + r_{23}r_{31} + r_{31}r_{12} + iM(r_{23} + r_{12})$. The required network is a complete graph on the vertices 1, 2, 3, 4 with edge conductances

$$\begin{aligned} c_{12} &= im_{12} + \delta, & c_{14} &= \Delta_M/r_{23}, \\ c_{23} &= im_{23} + \delta, & c_{34} &= \Delta_M/r_{12}, \\ c_{31} &= im_{31} + \delta - iM, & c_{24} &= \Delta_M/(r_{31} + iM). \end{aligned}$$

Clearly, for $M^2 > (r_{12}r_{23} + r_{23}r_{31} + r_{31}r_{12})|r_{31}|/(r_{23} + r_{12})$ we have each $\operatorname{Re} c_{kl} > 0$.

Let us show by an electrical transformation that the network has response C_{uv} . Replace the “letter Y” formed by the edges 14, 24, and 34 by a “triangle Δ ” formed by 3 new edges of conductances $c'_{12} = r_{12}$, $c'_{23} = r_{23}$, and $c'_{31} = r_{31} + iM$. This $Y\Delta$ -transformation does not change the response [22, page 12]. The obtained network has 3 pairs of multiple edges. Thus it has the same response as a triangle with edge conductances $r_{12} + im_{12} + \delta$, $r_{23} + im_{23} + \delta$, $r_{31} + im_{31} + \delta$. So the network has the response C_{uv} . \square

Acknowledgements

The authors are grateful to A. Akopyan, M. Houston, and B. George for useful discussions. M. Skopenkov was supported in part by INTAS grant 06-1000014-6277, Russian Foundation of Basic Research grant 06-01-72551-NCNIL-a, Moebius Contest Foundation for Young Scientists and Euler Foundation.

- [1] I. Benjamini and O. Schramm, Random walks and harmonic functions on infinite planar graphs using square tilings, *Ann. Prob.* **24:3** (1996), 1219–1238.
- [2] V. G. Boltianskii, Hilbert’s Third Problem (trans. by R. Silverman), V. H. Winston & Sons, Washington D. C., 1978.
- [3] R. L. Brooks, C. A. B. Smith, A. H. Stone, and W. T. Tutte, The dissection of rectangles into squares, *Duke Math. J.* **7** (1940), 312–340.
- [4] A. P. Calderón, On an inverse boundary value problem, *Comput. Appl. Math.* **25:2-3** (2006), 133–138.
- [5] J. Cannon, W. Floyd, W. Parry, Squaring rectangles: the finite Riemann mapping theorem, *Contemp. Math.* **169** (1994), 133–211.
- [6] W. Cauer, Die Verwirklichung der Wechselstromwiderstände vorgeschriebener Frequenzabhängigkeit, *Archiv für Elektrotechnik* **17** (1926), 355–388 (in German).
- [7] Y. Colin de Verdière, Réseaux électriques planaires I, *Comm. Math. Helv.* **69:1** (1994), 351–374 (in French).
- [8] Y. Colin de Verdière, I. Gitler, and D. Vertigan, Réseaux électriques planaires II, *Comm. Math. Helv.* **71:1** (1996), 144–167 (in French).
- [9] E. B. Curtis, D. Ingerman, and J. A. Morrow, Circular planar graphs and resistor networks, *Lin. Alg. Appl.* **283** (1998), 115–150.
- [10] E. B. Curtis and J. A. Morrow, Inverse problems for electrical networks, *Series on Appl. Math.* **13**, World Scientific, Singapore, 2000.

- [11] M. Dehn, Über die Zerlegung von Rechtecken in Rechtecke, *Math. Ann.* **57** (1903), 314–332 (in German).
- [12] P. G. Doyle and J. L. Snell, *Random walks and electric networks*, Mathematical Association of America, 1984, <http://arxiv.org/abs/math.PR/0001057>.
- [13] A. J. W. Duijvestijn, Simple perfect squared square of lowest order, *J. Comb. Theory B* **25** (1978), 240–243.
- [14] S. Fomin, Loop-erased walks and total positivity, *Trans. AMS* **353:9** (2001), 3563–3583.
- [15] R. M. Foster, Academic and Theoretical Aspects of Circuit Theory, *Proc. IRE* **50:5** (1962), 866–871.
- [16] C. Freiling, R. Hunter, C. Turner, and R. Wheeler, Tiling with Squares and Anti-Squares, *Amer. Math. Monthly* **107:3** (2000), 195–204.
- [17] C. Freiling, M. Laczkovich, and D. Rinne, Rectangling a rectangle, *Discr. Comp. Geom.* **17** (1997), 217–225.
- [18] C. Freiling and D. Rinne, Tiling a square with similar rectangles, *Math. Res. Lett.* **1** (1994), 547–558.
- [19] H. Hadwiger, *Vorlesungen Über Inhalt, Oberfläche und Isoperimetrie*, Springer-Verlag, 1957 (in German).
- [20] K. Keating and J. L. King, Shape tiling, *Elect. J. Comb.* **4:2** (1997), R12.
- [21] K. Keating and J. L. King, Signed tilings with squares, *J. Comb. Theory A* **85:1** (1999), 83–91.
- [22] R. Kenyon, Tilings and discrete Dirichlet problems, *Israel J. Math.* **105:1** (1998), 61–84.
- [23] M. Laczkovich and G. Szekeres, Tiling of the square with similar rectangles, *Discr. Comp. Geom.* **13** (1995), 569–572.
- [24] G. F. Lawler and J. Sylvester, Determining resistances from boundary measurements in finite networks, *SIAM J. Discr. Math.* **2** (1989), 211–239.
- [25] L. Lovasz, Random walks on graphs: a survey, In: *Combinatorics, Paul Erdos is Eighty*, D. Milos, V. T. Sos, and T. Szony, Eds., Budapest, Hungary: Janos Bolyai Math. Soc., 1996, 353–398.
- [26] V. G. Pokrovskii, Slicings of n -dimensional parallelepipeds, *Math. Notes* **33:2** (1983), 137–140.
- [27] F. Sharov, Dissection of a rectangle into rectangles with given side ratios, *Mat. Prosveschenie 3rd ser.* **20** (2016), 200–214 (in Russian) <http://arxiv.org/abs/1604.00316> (in English and in Russian).
- [28] M. Skopenkov, M. Prasolov and S. Dorichenko, Dissections of a metal rectangle, *Kvant* **3** (2011), 10–16 (in Russian) <http://arxiv.org/abs/1011.3180>.

- [29] M. Skopenkov, O. Malinovskaya and S. Dorichenko, Compose a square, *Kvant* **2** (2015), 6–11 (in Russian) <http://arxiv.org/abs/1305.2598>.
- [30] J. Sylvester and G. Uhlmann, A global uniqueness theorem for an inverse boundary value problem, *Ann. Math.* **125** (1987), 153–169.
- [31] Z. Su and R. Ding, Tilings of orthogonal polygons with similar rectangles or triangles, *J. Appl. Math. Comp.* **17:1** (2005), 343–350.
- [32] B. Szegedy, Tilings of the square with similar right triangles, *Combinatorica* **21:1** (2001), 139–144.
- [33] H. S. Wall, *Analytic theory of continued fractions*, Chelsea Pub. Co., Bronx, N. Y., 1967, 433 p.
- [34] H. Weyl, Repartición de corriente en uno red conductora, *Rev. Mat. Hisp. Amer.* **5** (1923), 153–164 (in Spanish).
- [35] I. M. Yaglom, *How to dissect a square?* *Mathematicheskaya bibliotekha*, Nauka, Moscow, 1968, 112 p. (in Russian), <http://ilib.mirror1.mccme.ru/djvu/yaglom/square.htm>.

Разрезания на прямоугольники и переменный ток

М. Прасолов^a, М. Скопенков^{b,c,*}

^aМеханико-математический факультет МГУ им. М.В. Ломоносова,
119991, Москва, Ленинские Горы, 1, ГСП-1

^bИнститут проблем передачи информации им. А.А. Харкевича РАН,
127994, Москва, Большой каретный пер., 19, с. 1

^cKing Abdullah University of Science and Technology,
P.O. Box 2187, 4700 KAUST, 23955-6900 Thuwal, Kingdom of Saudi Arabia

Abstract

Эта статья посвящена разрезаниям многоугольников на прямоугольники. Знаменитая физическая интерпретация таких разрезов, принадлежащая Р. Л. Бруксу, К. А. Б. Смиту, А. Г. Стоуну и У. Т. Татту, использует электрические цепи постоянного тока. В данной статье описан новый подход к физической интерпретации разрезов при помощи цепей переменного тока. Получены следующие результаты:

- необходимое условие существования разрезания прямоугольника на прямоугольники заданной формы;
- критерий существования разрезания данного прямоугольника на подобные ему же прямоугольники, некоторые из которых не гомотетичны данному;
- критерий существования разрезания многоугольника «общего положения» на квадраты.

Эти результаты обобщают результаты Фрайлинга, Кеньёна, Лацковича, Ринна и Сереша.

Keywords:

Разрезание, прямоугольник, ортогональный многоугольник, переменный ток, электрическая цепь

2010 MSC: 52C20, 94C05, 31C20, 30C15, 60J10

1. Введение

Прямоугольник $a \times b$, где $a, b \in \mathbb{N}$, можно разрезать на $a \cdot b$ квадратов. Поэтому прямоугольник с рациональным отношением сторон также можно разрезать на квадраты. В 1903 г. М. Ден доказал и обратное утверждение:

Теорема 1.1. [11] *Прямоугольник может быть разрезан на квадраты (не обязательно равные) тогда и только тогда, когда отношение его сторон рационально.*

Хоть это утверждение и кажется вполне естественным, его доказательство оказалось довольно сложным. Первоначальное доказательство со временем несколько раз упрощалось [2, 3, 20, 27, 36].

*Corresponding author

Email addresses: 0x00002a@gmail.com (М. Прасолов), skopenkov@rambler.ru (М. Скопенков)

Для нас наиболее интересен подход Р. Л. Брукса, К. А. Б. Смита, А. Г. Стоуна и У. Т. Татта [3]. Разрезанию прямоугольника они сопоставили цепь постоянного тока и доказали теорему 1.1, пользуясь свойствами электрических цепей. Они также применили эту технику к нахождению разрезания квадрата на квадраты с различными сторонами [13] (см. увлекательную историю об этом в [19]). Элементарное описание их метода см. в [29, 30].

В этой статье мы рассмотрим разрезания на конечное число произвольных прямоугольников. Предполагается, что стороны прямоугольников параллельны осям координат — то есть либо вертикальны, либо горизонтальны. *Отношением сторон* прямоугольника мы будем считать отношение горизонтальной стороны к вертикальной. Рассмотрим следующую задачу, поставленную в [17, с. 218] и [21, с. 3]:

Задача 1.2. Какие прямоугольники можно разрезать на прямоугольники с отношениями сторон c_1, \dots, c_n ?

Близкая задача о замощениях «с учётом знаков» решена в [21].

Мы не делаем каких-либо ограничений на количество прямоугольников в разрезании, кроме конечности этого числа: каждое из отношений c_1, \dots, c_n может быть использовано сколько угодно раз или не использовано совсем.

Для случая $n = 1$ и $c_1 = 1$ ответ на вопрос задачи 1.2 даёт теорема 1.1. Необходимое условие для произвольного n было доказано М. Деном: если прямоугольник с отношением сторон c можно разрезать на прямоугольники с отношениями сторон c_1, \dots, c_n , то число c представимо как рациональная функция (точнее, как значение этой функции) с рациональными коэффициентами от c_1, \dots, c_n .

Эта функция зависит только от «комбинаторной структуры» разрезания: например, если прямоугольник с отношением сторон c можно разрезать на 2 прямоугольника с отношениями сторон c_1 и c_2 вертикальным (или, соответственно, горизонтальным) разрезом, то $c(c_1, c_2) = c_1 + c_2$ (или, соответственно, $c(c_1, c_2) = \frac{c_1 c_2}{c_1 + c_2}$).

Главная идея нашей статьи — применить цепи *переменного* тока (что эквивалентно цепям постоянного тока с комплексными сопротивлениями) к задаче 1.2. Первым нашим результатом является следующая теорема.

Теорема 1.3. Пусть прямоугольник с отношением сторон c можно разрезать на прямоугольники с отношениями сторон c_1, \dots, c_n . Тогда $c = C(c_1, \dots, c_n)$ для некоторой рациональной функции $C(z_1, \dots, z_n)$, обладающей следующими свойствами:

- (1) рациональность коэффициентов: $C(z_1, \dots, z_n) \in \mathbb{Q}(z_1, \dots, z_n)$;
- (2) однородность: $C(tz_1, \dots, tz_n) = tC(z_1, \dots, z_n)$;
- (3) положительность вещественной части: если $\operatorname{Re} z_1, \dots, \operatorname{Re} z_n > 0$, то $\operatorname{Re} C(z_1, \dots, z_n) > 0$.

Задача 1.4. Верно ли обратное утверждение для $n \geq 3$?

Случай $n = 1$ (соответственно $n = 2$) теоремы 1.3 и обратной к ней эквивалентен теореме 1.1 (соответственно теореме 5 в [17] и следствию 2.7 ниже). Для $n \geq 3$ обратная теорема не может быть доказана нашим методом — см. пример 2.8.

Теорема 1.3 имеет простой физический смысл — см. §2.4. Но эта теорема (а также обратная к ней) не является *алгоритмической*, то есть, если требуемое разрезание существует, теорема не даёт алгоритма построения этого разрезания. Поэтому интересно получить менее общий, но зато алгоритмический результат.

Результат такого вида был независимо получен Фрайлингом и Ринном в 1994 г. и Лацковичем и Секерешем в 1995 г.

Теорема 1.5. [18, 24] Для $c > 0$ следующие 3 условия эквивалентны:

- (1) квадрат можно разрезать на прямоугольники с отношениями сторон c и $1/c$;
- (2) число c является корнем многочлена с целыми коэффициентами, у которого все комплексные корни имеют положительную действительную часть;
- (3) для некоторых положительных рациональных чисел d_1, \dots, d_m выполнено

$$d_1c + \frac{1}{d_2c + \frac{1}{d_3c + \dots + \frac{1}{d_m c}}} = 1.$$

В частности, квадрат можно разрезать на прямоугольники с отношениями сторон $2 + \sqrt{2}$ и $\frac{1}{2 + \sqrt{2}}$, но нельзя разрезать на прямоугольники с отношениями сторон $1 + \sqrt{2}$ and $\frac{1}{1 + \sqrt{2}}$; см. элементарное доказательство в [30].

Мы представим новое короткое самодостаточное доказательство теоремы 1.5. Это новое доказательство — естественное приложение цепей переменного тока. Мы также получим новый алгоритмический результат:

Теорема 1.6. Для числа $c > 0$ следующие 3 условия эквивалентны:

- (1) прямоугольник с отношением сторон c можно разрезать на прямоугольники с отношениями сторон c и $1/c$ так, что в разрезании будет хотя бы один прямоугольник с отношением сторон $1/c$;
- (2) число c^2 является корнем многочлена с целыми коэффициентами, у которого все остальные корни являются отрицательными действительными числами;
- (3) для некоторых положительных рациональных чисел d_1, \dots, d_m выполнено

$$\frac{1}{d_1c + \frac{1}{d_2c + \dots + \frac{1}{d_m c}}} = c.$$

Другие алгоритмические результаты можно найти в [17, с. 224] и [28]. Аналогичные результаты о разрезаниях на треугольники см. в [33]. Многомерные обобщения обсуждаются в [27].

Мы также рассмотрим разрезания произвольных (необязательно выпуклых) многоугольников на прямоугольники. Это обобщение раскрывает новые связи между разрезаниями и электрическими цепями.

Мы применим цепи постоянного тока с несколькими входами, чтобы получить критерий возможности разрезания «общего» многоугольника на квадраты — см. теорему 4.3 ниже. Она не является алгоритмической. Этот результат обобщает теорему 1.1 и [23, теоремы 9 и 12]. Более простая родственная задача о разрезаниях на квадраты «с учётом знаков» решена в [16, 22].

Цепи переменного тока с несколькими входами мы применим для короткого доказательства обобщения теоремы 1.5 на многоугольники с рациональными координатами вершин [32] — см. теорему 4.4 ниже. Также мы докажем один фольклорный результат, касающийся *электроимпедансной томографии*, для цепей переменного тока, ср. [10, 7, 8, 25].

Существует тесная связь между электрическими цепями, дискретными гармоническими функциями и случайными блужданиями на графах [12, 26, 1]. Наши результаты имеют эквивалентные утверждения на языке каждой из этих теорий — см., например, следствие 4.10 ниже.

Далее наша статья разделена на две формально независимых части: §§2–3 и §§4–6.

Первая часть содержит доказательства теорем 1.3, 1.5 и 1.6. В §2 напоминаются базовые определения и свойства электрических цепей, а также объясняется их связь с разрезами. В §3 эти результаты доказываются.

Во второй части статьи приводятся вариации на эти темы. В §4 приводятся формулировки результатов, касающихся разрезов многоугольников, электроимпедансной томографии и случайных блужданий. В §5 результаты §2 обобщаются на электрические цепи с несколькими входами. В §6 доказываются результаты, сформулированные в §4.

2. Главные идеи

2.1. Электрические цепи

Наш подход основан на теории электрических цепей [29], но мы не предполагаем, что читатель знаком с физикой — в этом параграфе мы напомним все нужные нам физические понятия. Несмотря на применение физических соображений, наше изложение производится на математическом уровне строгости и физический смысл происходящего объяснён очень кратко. В этом параграфе новых результатов не содержится. Короткие доказательства даны в §5.

Итак, *электрической цепью* называется связный граф, каждому ребру которого сопоставлено некоторое положительное действительное число (*проводимость*) и две вершины которого отмечены (*граничные вершины*). Для простоты в этом пункте мы будем считать, что граф не содержит ни кратных рёбер, ни петель. Обобщения для графов с кратными рёбрами оставляем читателю.

Электрическую цепь будем называть *плоской*, если её можно изобразить на единичном круге так, что граничные вершины цепи принадлежат границе круга и никакие два ребра не имеют общих точек, кроме, возможно, их общей вершины.

Зафиксируем нумерацию вершин цепи числами $1, 2, \dots, n$ так, чтобы вершины 1 и 2 были бы граничными. Обозначим количество граничных вершин в цепи через $b := 2$, количество рёбер в цепи — через m , проводимость ребра между вершинами k и l — через c_{kl} . Положим $c_{kl} := 0$, если между вершинами k и l нет ребра.

Замкнутой электрической цепью называется электрическая цепь вместе с двумя действительными числами U_1 и U_2 — *входными потенциалами*, сопоставленными граничным вершинам цепи.

Каждой вершине k ($1 \leq k \leq n$) замкнутой электрической цепи сопоставим число U_k — *потенциал* на вершине, а каждому ребру kl ($1 \leq k, l \leq n$) — число I_{kl} , называемое *током* через ребро. Эти числа определяются следующими двумя аксиомами:

- (С) *Закон Ома.* Для каждой пары вершин k, l выполнено равенство $I_{kl} = c_{kl}(U_k - U_l)$.
 (I) *Правило Кирхгофа.* Для каждой вершины $k > b$ выполнено равенство $\sum_{l=1}^n I_{kl} = 0$.

Неформально, правило (I) означает, что электрический заряд не накапливается в неграничных вершинах. Другими словами, эти аксиомы утверждают, что U_k является *дискретной гармонической функцией*. Числа U_k и I_{kl} однозначно определяются этими аксиомами, что доказывается следующей классической теоремой.

Теорема 2.1. [35] Для любой замкнутой электрической цепи система линейных уравнений (С), (1) от переменных U_k , где $b < k \leq n$, и I_{kl} , где $1 \leq k, l \leq n$, имеет единственное решение.

Обозначим через $I_1 := \sum_{k=1}^n I_{1k}$ ток, текущий внутрь замкнутой электрической цепи через вершину 1. Проводимостью замкнутой электрической цепи с входными потенциалами $U_1 \neq U_2$ называется число $C = I_1 / (U_1 - U_2)$. Легко видеть, что проводимость не зависит от U_1 и U_2 . Поэтому проводимость электрической цепи определена однозначно. Величина, обратная к проводимости, называется *сопротивлением*. Базовые примеры электрических цепей и вычисления их проводимостей изображены на рис. 1.

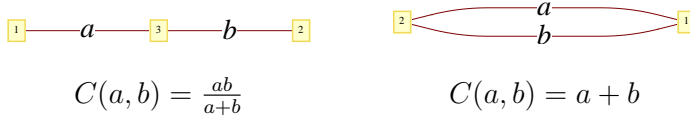


Рис. 1: последовательная и параллельная электрические цепи.

2.2. Электрические цепи и разрезания

Как отмечалось, существует тесная связь между электрическими цепями и разрезаниями. Мы будем говорить, что ребро kl замкнутой цепи *существенно*, если $I_{kl} \neq 0$. Ясно, что эта характеристика ребра не зависит от U_1 и U_2 , если $U_1 \neq U_2$. Поэтому существенные рёбра в (незамкнутой) электрической цепи определены корректно.

Лемма 2.2. [3, 5, Теорема 1.4.1] Следующие два условия эквивалентны:

- (1) прямоугольник с отношением сторон s можно разрезать на t прямоугольников с отношениями сторон c_1, \dots, c_m ;
- (2) существует плоская электрическая цепь с проводимостью s , состоящая из t существенных рёбер с проводимостями c_1, \dots, c_m .

Приведём здесь набросок доказательства утверждения (1) \implies (2). По разрезанию, описанному в (1), можно построить электрическую цепь, описанную в (2), — см. рис. 2. На каждой горизонтальной линии разреза, а также на обоих горизонтальных сторонах разрезаемого прямоугольника отметим по точке — эти точки будут вершинами электрической цепи. Для каждого прямоугольника в разрезании проведём ребро между вершинами на разрезах, которые содержат горизонтальные стороны рассматриваемого прямоугольника. Проводимость этого ребра положим равной отношению сторон прямоугольника. Тогда проводимость всей цепи равна отношению сторон разрезаемого прямоугольника — более подробно см. в §5.2.

2.3. Свойства проводимости

Коротко изложим основные свойства проводимости.

Лемма 2.3. [3, 12, 15] Пусть электрическая цепь содержит t рёбер с проводимостями c_1, \dots, c_m . Тогда проводимость $C(c_1, \dots, c_m)$ всей цепи имеет следующие свойства:

- (1) рациональность: $C(c_1, \dots, c_m) \in \mathbb{Q}(c_1, \dots, c_m)$;
- (2) однородность: $C(tc_1, \dots, tc_m) = tC(c_1, \dots, c_m)$;
- (3) $\frac{\partial}{\partial c_j} C(c_1, \dots, c_m) = \left(\frac{U_k - U_l}{U_1 - U_2}\right)^2$, где k и l — концы ребра j ;

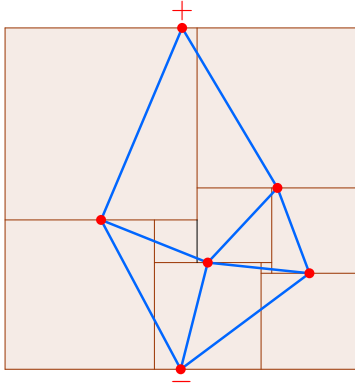


Рис. 2: соответствие между разрезами и электрическими цепями.

- (4) монотонность: если $c_1, \dots, c_m > 0$, то $\frac{\partial}{\partial c_j} C(c_1, \dots, c_m) \geq 0$; если ребро j существенно, то последнее неравенство строгое;
- (5) положительность вещественной части: если $\operatorname{Re} c_1, \dots, \operatorname{Re} c_m > 0$, то $\operatorname{Re} C(c_1, \dots, c_m) > 0$.

Замечание 2.4. (А. Акопян, частное сообщение) Свойство (4) следует из (1), (2) и (5). Свойство (5) не следует из (1), (2) и (4), — например, функция $C(c_1, c_2) = (c_1 + c_2) \frac{c_1^2 + c_2^2}{c_1^2 + 2c_2^2}$ удовлетворяет (1), (2), (4), но свойство (5) не выполняется.

Свойство (5) касается продолжения функции $C(c_1, \dots, c_m)$ в комплексную область. Смысл этого свойства станет ясным в контексте цепей переменного тока. Короткое доказательство леммы см. в §5.1.

2.4. Переменный ток

Объясним физический смысл условия положительности вещественной части в лемме 2.3 и теореме 1.3. Это объяснение далее в статье не используется и читатель может пропустить этот пункт.

Неформально, *замкнутая цепь переменного тока* — это набор соединённых между собой резисторов, конденсаторов, катушек индуктивности и единственного источника переменного тока.

Формально, *замкнутая цепь переменного тока* — это граф со следующей дополнительной структурой:

- две отмеченные (*граничные*) вершины;
- две функции (*функции потенциала*) $\tilde{U}_1(t) := U \cos \omega t$ и $\tilde{U}_2(t) := 0$, соответствующие им;
- разделение рёбер на три типа (*резистор, конденсатор и катушка индуктивности*);
- положительное число \tilde{c}_{kl} , соответствующее каждому ребру (называется *проводимостью, ёмкостью или индуктивностью*, в зависимости от типа ребра).

Предположим для простоты, что такой граф не имеет кратных рёбер. Потенциалы $\tilde{U}_k(t)$ и токи $\tilde{I}_{kl}(t)$ определяются следующими аксиомами:

(С) *Закон Ома для переменного тока.* Для каждого ребра kl выполнено равенство

$$\tilde{I}_{kl}(t) \begin{cases} \tilde{c}_{kl} (\tilde{U}_k(t) - \tilde{U}_l(t)), & \text{если } kl \text{ — резистор;} \\ \tilde{c}_{kl} \frac{d}{dt} (\tilde{U}_k(t) - \tilde{U}_l(t)), & \text{если } kl \text{ — конденсатор;} \\ \tilde{c}_{kl} \int_{\pi/2\omega}^t (\tilde{U}_k(t) - \tilde{U}_l(t)) dt, & \text{если } kl \text{ — катушка индуктивности.} \end{cases}$$

(I) *Правило Кирхгофа.* Для каждой вершины $k \neq 1, 2$ выполнено равенство $\sum_{l=1}^n \tilde{I}_{kl}(t) = 0$.

Потенциалы и токи можно найти, используя следующий широко известный алгоритм. Положим $U_1 := U$, $U_2 := 0$, $i := \sqrt{-1}$ и

$$c_{kl} : \begin{cases} \tilde{c}_{kl}, & \text{если } kl \text{ — резистор;} \\ i\omega\tilde{c}_{kl}, & \text{если } kl \text{ — конденсатор;} \\ \frac{1}{i\omega}\tilde{c}_{kl}, & \text{если } kl \text{ — катушка индуктивности.} \end{cases}$$

Буквально по таким же законам (С), (I), как для цепей постоянного тока, найдём числа U_k , где $3 \leq k \leq n$, и I_{kl} , где $1 \leq k, l \leq n$. Тогда $\tilde{U}_k(t) = \operatorname{Re}(U_k e^{i\omega t})$, $\tilde{I}_{kl}(t) = \operatorname{Re}(I_{kl} e^{i\omega t})$. В этом смысле цепи переменного тока «эквивалентны» цепям постоянного тока с комплексными проводимостями (также называемыми *адмитансами*).

Заметим, что всегда $\operatorname{Re} c_{kl} \geq 0$. Физически это означает неотрицательность *диссипации энергии* на ребре kl (которая равна $\operatorname{Re} c_{kl} |U_k - U_l|^2$ за период). Поэтому физический смысл положительности вещественной части такой: «цепь, состоящая из элементов, диссипирующих энергию, тоже диссипирует энергию».

Каждому разрезанию прямоугольника на *подобные* прямоугольники можно сопоставить цепь переменного тока, — см. рис. 3 (формально это в статье не используется). Граф цепи такой же, как в пункте 2.2. Но вместо резисторов, рёбра теперь являются либо конденсаторами, либо катушками индуктивности, в зависимости от ориентации рассматриваемых прямоугольников. Построенная цепь переменного тока «эквивалентна» цепи постоянного тока с комплексными проводимостями рёбер z и $1/z$, где $z := i\omega$.

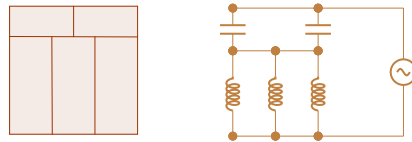


Рис. 3: соответствие между разрезаниями на прямоугольники и цепями переменного тока.

2.5. Обратные задачи

Обратной задачей для электрических цепей называется задача построения цепи с данной проводимостью из данных элементов. Приведём классический результат Р. М. Фостера и У. Кауэра в этой области. Его короткое доказательство можно найти в §5.3. Всё сказанное в данном пункте в дальнейшем используется только в доказательстве утверждений (2) \implies (3) в теоремах 1.5–1.6.

Теорема 2.5 (теорема Фостера о реактивном сопротивлении). [15] *Следующие свойства рациональной функции $C(z) \in \mathbb{R}(z)$ эквивалентны:*

- (1) $C(i\omega)$ является проводимостью электрической цепи, состоящей из конденсаторов и катушек индуктивности, где проводимость рассматривается как функция от частоты ω ;
- (2) $C(z)$ является проводимостью электрической цепи, в которой проводимость каждого ребра j равна либо $d_j z$, либо $1/d_j z$ для некоторых действительных чисел $d_1, \dots, d_m > 0$;
- (3) $C(z)$ является нечётной рациональной функцией, для которой $\operatorname{Re} C(z) > 0$, если $\operatorname{Re} z > 0$.

Доказательство теоремы основано на следующей лемме из анализа.

Лемма 2.6. [6] Для нечётной рациональной функции $C(z) \in \mathbb{R}(z)$, удовлетворяющей условию $\lim_{z \rightarrow \infty} C(z) \neq 0$, следующие 5 условий эквивалентны:

- (1) если $\operatorname{Re} z > 0$, то $\operatorname{Re} C(z) > 0$;
- (2) если $C(z) = 1$, то $\operatorname{Re} z > 0$;
- (3) если $C(z) = 0$, то $\operatorname{Re} z = 0$ и $C'(z) > 0$;
- (4)

$$C(z) = d_1 z \prod_{k=1}^n \frac{z^2 + a_k^2}{z^2 + b_k^2},$$

для некоторого целого числа $n \geq 0$ и действительных чисел $d_1 > 0$, $a_1 > b_1 > a_2 > \dots > b_n \geq 0$;

- (5)

$$C(z) = d_1 z + \frac{1}{d_2 z + \dots + \frac{1}{d_m z}}$$

для некоторого целого числа $m \geq 1$ и действительных чисел $d_1, \dots, d_m > 0$;

Определим по индукции *последовательно-параллельные* электрические цепи. Цепь, содержащая только одно ребро является последовательно-параллельной. Если a и b — две последовательно-параллельных цепи, то и их последовательное и параллельное «соединения» (см. рис. 1) последовательно-параллельны. Видно, что условие (5) леммы 2.6 позволяет нам строить последовательно-параллельные электрические цепи с общей проводимостью $C(z)$ и проводимостями рёбер $d_1 z$, $1/d_2 z$, $d_3 z$, $1/d_4 z$, \dots , $(d_m z)^{(-1)^m}$; см. рис. 4. Утверждение (2) \implies (5) доказано в [17, Лемма 4]; доказательство использует результаты из [34]. Наше доказательство в §5.3, следующее статье [6], проще.

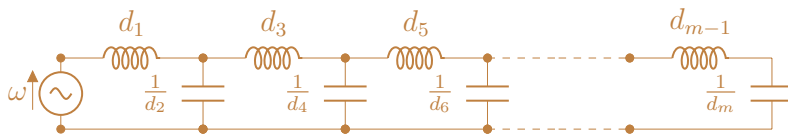


Рис. 4: Последовательно-параллельная цепь, стоящая за леммой 2.6

Следствие 2.7. [6] Если функция $C(c_1, c_2)$ удовлетворяет условиям (1)–(3) теоремы 1.3, то $C(c_1, c_2)$ является проводимостью некоторой последовательно-параллельной электрической цепи с проводимостями рёбер c_1 и c_2 .

Пример 2.8. Для трёх переменных c_1, c_2, c_3 следствие 2.7 перестаёт быть верным. Например, возьмём цепь с четырьмя вершинами и проводимостями рёбер $c_{13} = c_1, c_{23} = c_2, c_{24} = c_1, c_{14} = c_2, c_{34} = c_3$. По лемме 2.3(3) и соображениям симметрии получаем, что $\partial C(c_1, c_2, c_3)/\partial c_3 = 0$, если $c_1 = c_2$. Таким образом, $C(c_1, c_2, c_3)$ не может быть проводимостью последовательно-параллельной цепи с проводимостями рёбер c_1, c_2, c_3 , потому что все рёбра такой цепи существенны.

3. Доказательства основных результатов

3.1. Доказательство теоремы 1.3

Далее в *электрических цепях* в качестве проводимостей рёбер допускаются произвольные комплексные числа с положительной действительной частью. Это обобщение мотивировано §2.4 (и позволяет описывать как цепи постоянного, так и переменного тока). Теорема 1.3 является прямым следствием результатов §2:

Доказательство теоремы 1.3. Предположим, что прямоугольник с отношением сторон c можно разрезать на прямоугольники с отношениями сторон c_1, \dots, c_n . По лемме 2.2 существует электрическая цепь с проводимостью c , состоящая из рёбер с проводимостями c_1, \dots, c_n . Для каждого $k = 1, \dots, n$ заменим каждое ребро с проводимостью c_k в цепи на ребро с комплексной проводимостью z_k , где $\operatorname{Re} z_k > 0$. Пусть $C(z_1, \dots, z_n)$ — проводимость полученной электрической цепи. По лемме 2.3(1), (2) и (5) функция $C(z_1, \dots, z_n)$ обладает свойствами (1)–(3) из теоремы 1.3. \square

3.2. Доказательство теоремы 1.5

Доказательство теоремы 1.5. (3) \implies (1) [17] Предположим, что условие (3) теоремы 1.5 выполнено и, скажем, m нечётно. Рассмотрим квадрат с единичной площадью. Вертикальным разрезом ототрежем от этого квадрата прямоугольник с отношением сторон $d_1 c$. Оставшаяся часть является прямоугольником с отношением сторон

$$1 - d_1 c = \frac{1}{d_2 c + \dots + \frac{1}{d_m c}}$$

Теперь ототрежем от оставшейся части горизонтальным разрезом прямоугольник с отношением сторон $1/d_2 c$. Останется прямоугольник с отношением сторон

$$d_3 c + \frac{1}{d_4 c + \dots + \frac{1}{d_m c}}$$

Продолжим этот процесс, чередуя вертикальные и горизонтальные разрезы. Условие (3) гарантирует нам, что после $(m-1)$ -го шага мы получим прямоугольник с отношением сторон $d_m c$. Мы получили разрезание квадрата на прямоугольники с отношениями сторон $d_1 c, 1/d_2 c, d_3 c, 1/d_4 c, \dots, d_m c$. Поскольку все $d_k \in \mathbb{Q}$, то все прямоугольники в полученном разрезании можно разрезать на прямоугольники с отношениями сторон c и $1/c$.

(1) \implies (2). Предположим, что квадрат разрезан на прямоугольники с отношениями сторон c и $1/c$. По лемме 2.2 существует электрическая цепь с общей проводимостью 1 и проводимостями рёбер c и $1/c$. Заменим каждое ребро с проводимостью c (соответственно $1/c$) в этой цепи на ребро с проводимостью $z \in \mathbb{C}$ (соответственно

$1/z$). Пусть $C(z)$ — проводимость полученной цепи. Тогда по лемме 2.3(1) получаем $C(z) \in \mathbb{Q}(z)$, а по лемме 2.3(2) функция $C(z)$ нечётна.

Так как $C(c) = 1$ и функция $C(z) \in \mathbb{Q}(z)$ непостоянна, то c является корнем ненулевого многочлена с целыми коэффициентами. Покажем, что такой многочлен минимальной степени — искомым. Пусть z — любой другой корень минимального многочлена числа c . Тогда и $C(z) = 1$.

Докажем, что $\operatorname{Re} z > 0$. Сначала предположим, что $\operatorname{Re} z < 0$. Тогда $\operatorname{Re}(-z) > 0$ и $\operatorname{Re}(-1/z) > 0$. По лемме 2.3(5) получаем $0 < \operatorname{Re} C(-z) = -\operatorname{Re} C(z) = -1$ — противоречие. Теперь пусть $\operatorname{Re} z = 0$. Пусть последовательность z_k стремится к z , где $\operatorname{Re} z_k < 0$ для всех k . Вновь $0 < \operatorname{Re} C(-z_k) = -\operatorname{Re} C(z_k) \rightarrow -1$ — противоречие. Поэтому $\operatorname{Re} z > 0$.

(2) \implies (3) [17] Пусть $p(z)$ — минимальный многочлен числа c . Пусть $\deg p(z)$ нечётна. Положим $C(z) := \frac{p(-z)-p(z)}{p(-z)+p(z)}$. Тогда $C(c) = 1$, $C(z) \in \mathbb{Q}(z)$, $\lim_{z \rightarrow \infty} C(z) \neq 0$, $C(z)$ нечётна и все корни уравнения $C(z) = 1$ имеют положительную действительную часть. По лемме 2.6(2) \implies (5) функция $C(z)$ удовлетворяет условию (5) леммы 2.6. Так как $C(z) \in \mathbb{Q}(z)$, то по алгоритму Евклида все $d_k \in \mathbb{Q}$. Подставляя $z = c$, получаем требуемое условие. В случае, если $\deg p(z)$ — чётное число, нужно заменить $C(z)$ на $1/C(z)$ и повторить вышесказанное. \square

3.3. Доказательство теоремы 1.6

Здесь мы используем идеи из §3.2 и §5.3.

Доказательство теоремы 1.6. (3) \implies (1) Аналогично доказательству теоремы 1.5, (3) \implies (1).

(1) \implies (2). Предположим, что прямоугольник с отношением сторон c разрезан на прямоугольники с отношениями сторон c и $1/c$. Поворачивая разрезание на $\pi/2$ и растягивая его по горизонтали в c раз, мы получим квадрат, разрезанный на квадраты и прямоугольники с отношением сторон c^2 . По лемме 2.2 существует электрическая цепь с общей проводимостью 1 и проводимостями рёбер 1 и c^2 , в которой все рёбра существенны. Так как в исходном разрезании существует по крайней мере один прямоугольник с отношением сторон $1/c$, то рассматриваемая цепь содержит по крайней мере одно ребро с проводимостью c^2 . Заменяем каждое ребро с проводимостью c^2 (соответственно 1) в цепи на ребро с проводимостью $z \in \mathbb{C}$ (соответственно $w \in \mathbb{C}$). Пусть $C(z, w)$ — проводимость полученной цепи, а $C(z) := C(z, 1)$.

Докажем, что c^2 является корнем ненулевого многочлена с целыми коэффициентами. Действительно, по лемме 2.3(4) имеем $C''(c^2) > 0$, потому что в цепи существует по крайней мере одно существенное ребро с проводимостью c^2 . Поэтому функция $C(z) \not\equiv \text{const}$. По лемме 2.3(1) получаем, что $C(z) \in \mathbb{Q}(z)$. Так как $C(c^2) = 1$, то c^2 является корнем ненулевого многочлена с целыми коэффициентами. Возьмём такой многочлен минимальной степени. Пусть z — любой его корень, отличный от c^2 . Тогда $C(z, 1) = C(c^2) = 1$.

Докажем, что z является отрицательным действительным числом. Предположим сначала, что $\operatorname{Im} z < 0$. Тогда $\operatorname{Re} iz > 0$. По лемме 2.3(2) получаем, что $\operatorname{Re} C(iz, i) = \operatorname{Re}(iC(z, 1)) = \operatorname{Re} i = 0$. Так как $C(iz, i)$ — рациональная функция, то любая окрестность точки iz содержит такую точку z' , что $\operatorname{Re} C(z', i) < 0$. Для достаточно малой окрестности справедливо $\operatorname{Re} z' > 0$, потому что $\operatorname{Re} iz > 0$. По непрерывности, окрестность точки i содержит такую точку w' , что $\operatorname{Re} w' > 0$ и $\operatorname{Re} C(z', w') < 0$. Эти неравенства противоречат лемме 2.3(5). Случай $\operatorname{Im} z > 0$ рассматривается похожим образом. Предположим теперь, что $z > c^2$. Тогда по лемме 2.3(4) получаем

$1 = C(z) > C(c^2) = 1$ — противоречие. Случай $0 \leq z < c^2$ рассматривается аналогично. Поэтому $z < 0$.

(2) \implies (3) Пусть $p(z)$ — минимальный многочлен числа c^2 . Так как минимальный многочлен имеет лишь простые корни, то $p(z^2) = (z^2 - c^2) \prod_{k=1}^n (z^2 + b_k^2)$ для некоторых $b_1 > \dots > b_n > 0$. Возьмём многочлен $q(z)$ с рациональными коэффициентами, такой, что $q(z) = z \prod_{k=1}^n (z^2 + a_k^2)$, где $a_1 > b_1 > a_2 > \dots > b_n$. Рассмотрим рациональную функцию $C(z) = q(z)/(zq(z) - p(z^2))$. Получаем $C(c) = 1/c$.

Проверим, что функция $C(z)$ удовлетворяет условию (3) леммы 2.6. Ясно, что $C(z)$ нечётна и $\lim_{z \rightarrow \infty} C(z) \neq 0$. Корнями $C(z)$ являются числа $0, \pm ia_1, \dots, \pm ia_n$. Непосредственный подсчёт показывает, что для каждого $l = 1, \dots, n$

$$C'(\pm ia_l) = -\frac{q'(\pm ia_l)}{p(-a_l^2)} = \frac{2a_l^2}{(c^2 + a_l^2)(a_l^2 - b_l^2)} \prod_{k \neq l} \frac{a_k^2 - a_l^2}{b_k^2 - a_l^2} > 0$$

по предположению, что $a_1 > b_1 > a_2 > \dots > b_n > 0$. Аналогично $C'(0) = -q'(0)/p(0) > 0$.

Тогда по лемме 2.6(3) \implies (5) функция $C(z)$ удовлетворяет условию (5) леммы 2.6. Так как $C(z) \in \mathbb{Q}(z)$, то по алгоритму Евклида все $d_k \in \mathbb{Q}$. Подставляя $z = c$, получаем требуемое условие. \square

4. Вариации

4.1. Разрезания многоугольников на прямоугольники

В этом пункте мы рассмотрим следующую задачу.

Задача 4.1. Какие многоугольники можно разрезать на прямоугольники с отношениями сторон c_1, \dots, c_n ?

Близкая задача о разрезаниях с учётом знаков решена в [22].

Частный случай $n = 1, c_1 = 1$ этой задачи, состоящий в описании всех многоугольников, которые могут быть разрезаны на квадраты, поставлен в [16]. Р. Кеньоном был получен ответ для этого частного случая для шестиугольников (см. рис. 5).

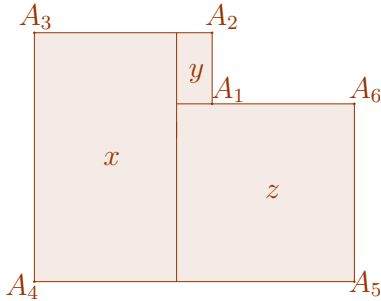


Рис. 5: L -образный шестиугольник.

Теорема 4.2. (ср. [23, Theorem 9]) Пусть $A_1A_2A_3A_4A_5A_6$ — L -образный шестиугольник, вершины которого занумерованы, начиная с вершины невыпуклого угла (см. рис. 5). Шестиугольник $A_1A_2A_3A_4A_5A_6$ можно разрезать на квадраты, если и только если система линейных уравнений

$$\begin{cases} A_3A_4 \cdot x + A_1A_2 \cdot y = A_2A_3, \\ A_5A_6 \cdot z - A_1A_2 \cdot y = A_6A_1; \end{cases} \quad (1)$$

имеет решение в неотрицательных рациональных числах x, y, z .

Доказательство достаточности довольно просто: если рациональные числа $x, y, z \geq 0$ удовлетворяют системе (1), то шестиугольник $A_1A_2A_3A_4A_5A_6$ можно разрезать на 3 прямоугольника с отношениями сторон x, y, z , а затем и на квадраты (см. рис. 5).

Наша ближайшая цель — дать подобный теореме 4.2 критерий для гораздо более широкого класса многоугольников.

Пусть P — *ортогональный* многоугольник, то есть многоугольник со сторонами, параллельными координатным осям. Будем считать, что многоугольник P — *простой*, то есть его граница ∂P состоит из одной связной компоненты. Занумеруем стороны многоугольника, параллельные оси x , против часовой стрелки в порядке их следования на границе ∂P . Обозначим через b число горизонтальных сторон у многоугольника P . Обозначим через I_u *ориентированную длину* стороны u , то есть длину стороны u со знаком «+» (соответственно, «−»), если многоугольник P локально лежит ниже (соответственно, выше) стороны u . Обозначим через U_u координату стороны u по оси Oy . Будем считать, что многоугольник P — *общего положения*, то есть числа U_1, \dots, U_b попарно различны. (Понятие «многоугольника общего положения» используется только в указанном смысле, а не в смысле какой-либо меры в пространстве всех многоугольников.)

Нам потребуются следующие понятия [10]. Назовём последовательность (p_1, \dots, p_{2k}) целых чисел *циклически упорядоченной*, если некоторая её циклическая перестановка строго упорядочена по возрастанию.

Обозначим через Ω_b множество матриц C_{uv} размера $b \times b$ с действительными элементами, удовлетворяющих следующим условиям:

- (1) матрица C_{uv} симметрична, то есть $C_{uv} = C_{vu}$;
- (2) сумма элементов матрицы C_{uv} в каждой строке равна нулю;
- (3) для любой циклически упорядоченной последовательности (p_1, \dots, p_{2k}) выполнено неравенство $(-1)^k \det\{C_{p_i p_{2k-j+1}}\}_{i,j=1}^k \geq 0$.

Последнее условие есть ограничение на знаки некоторых миноров матрицы C_{uv} . Например, множество Ω_3 состоит из матриц вида $\begin{pmatrix} x+y & -x & -y \\ -x & x+z & -z \\ -y & -z & y+z \end{pmatrix}$, где $x, y, z > 0$.

Теорема 4.3. Пусть P — ортогональный многоугольник общего положения с b горизонтальными сторонами, имеющими ориентированные длины I_1, \dots, I_b и y -координаты U_1, \dots, U_b . Тогда следующие два условия эквивалентны:

- (1) многоугольник P можно разрезать на квадраты;
- (2) существует матрица $C_{uv} \in \Omega_b$ с рациональными элементами, такая, что $I_v = \sum_{u=1}^b C_{uv} U_u$ для каждого $v = 1, \dots, b$.

При $b = 2$ эта теорема эквивалентна теореме 1.1, а при $b = 3$ — теореме 4.2.

Обсудим алгоритмические аспекты данного результата.

Теорема 4.3 сводит вопрос о существовании разрезания данного многоугольника на квадраты к вопросу о существовании рационального решения у некоторой системы нелинейных неравенств. Последний вопрос очень сложен. Известно, что в общем случае не существует алгоритма для ответа на него. Поэтому Теорема 4.3 не даёт алгоритма, который бы по произвольному многоугольнику позволил бы определить, можно ли его разрезать на квадраты.

Однако можно выделить обширный класс многоугольников, для которого теорема 4.3 даёт такой алгоритм. А именно, рассмотрим такие многоугольники P , для

которых числа U_1, \dots, U_b линейно независимы над \mathbb{Q} . Тогда условие $I_v = \sum_{u=1}^b C_{uv} U_u$ из теоремы 4.3 однозначно определяет матрицу C_{uv} . Чтобы выяснить, можно ли многоугольник P разрезать на квадраты, достаточно проверить, удовлетворяет ли матрица C_{uv} условиям (1)–(3) из определения множества Ω_b .

Теорема 4.3 не обязательно выполнена для многоугольников *не общего положения*, например, для ортогонального многоугольника с параметрами

$$U_1 = U_3 = 0, \quad U_2 = 2, \quad U_4 = -4, \quad I_1 = \sqrt{2}, \quad I_2 = 2, \quad I_3 = 2 - \sqrt{2}, \quad I_4 = -4.$$

Мы докажем теорему 4.3 в §6. Мы также дадим короткое доказательство следующего результата.

Теорема 4.4. [32] *Ортогональный многоугольник общего положения с рациональными координатами вершин можно разрезать на прямоугольники с отношениями сторон s и $1/s$ тогда и только тогда, когда квадрат можно разрезать на прямоугольники с отношениями сторон s и $1/s$.*

4.2. Электроимпедансная томография

Наш подход к задаче 4.1 следует идеям из [23, 8] и использует электрические цепи с несколькими входами.

Далее будем рассматривать замкнутые электрические цепи с несколькими граничными вершинами $1, \dots, b$ и с входными потенциалами U_1, \dots, U_b . Замкнутую электрическую цепь будем называть *плоской*, если её можно изобразить без самопересечений в единичном круге так, что граничные вершины лежали бы на границе круга. В этом случае будем нумеровать граничные вершины против часовой стрелки, если следовать по границе круга. Мы *не* предполагаем, что замкнутая электрическая цепь связна, но требуем, чтобы каждая связная компонента цепи содержала хотя бы одну граничную вершину. Потенциалы и токи в такой цепи определяются законом Ома (C) и правилом Кирхгофа (I) из §2.

Рассмотрим линейное отображение $\mathbb{C}^b \rightarrow \mathbb{C}^b$, переводящее вектор потенциалов (U_1, \dots, U_b) в вектор *входных токов* $(I_1, \dots, I_b) = (\sum_{k=1}^n I_{1k}, \dots, \sum_{k=1}^n I_{bk})$, текущих внутрь цепи через вершины $1, \dots, b$ соответственно. Матрица C_{uv} этого линейного отображения называется *реакцией* замкнутой электрической цепи. Эта матрица симметрична [10]. При $b = 2$ реакция цепи равна $\begin{pmatrix} C & -C \\ -C & C \end{pmatrix}$, где C — проводимость цепи.

Мы сводим результаты §4.1 к *обратной задаче* теории электрических цепей, которая состоит в определении неизвестных сопротивлений элементов электрической цепи по измерениям силы тока и потенциалов в заданных узлах. Она представляет собой дискретный аналог *электроимпедансной томографии* [4, 31]. Эта задача поставлена в [25] и решена для плоских цепей постоянного тока в [9, 10, 7, 8]. Сформулируем некоторые глубокие результаты И. Колина де Вердые, Э. Куртиса и Дж. А. Морроу.

Теорема 4.5. [10, 9, 8, Theorem 5] *Множество всех возможных реакций плоских электрических сетей с b граничными вершинами и положительными проводимостями рёбер — это в точности множество Ω_b из §4.1.*

Назовём электрическую цепь *минимальной* (или *критической*), если она имеет минимальное число рёбер среди всех плоских электрических цепей, имеющих такую же реакцию, как и исходная цепь. Минимальность цепи зависит только от её графа [8]. В [10, 9, §9] приводится алгоритм нахождения проводимостей рёбер минимальной цепи по её реакции. Этот алгоритм влечёт следующий результат (Д. Ингерман, Дж. А. Морроу, частное сообщение).

Теорема 4.6. *Проводимости рёбер минимальной электрической цепи единственным образом определяются по её реакции. Проводимость каждого ребра есть рациональная функция с рациональными коэффициентами от элементов матрицы реакции.*

Для цепей переменного тока обратная задача, вероятно, является нерешённой [15]. Сформулируем простой фольклорный результат. Оставшаяся часть §4 не используется в доказательстве сформулированных выше теорем. Однако авторы считают, что для каких-либо дальнейших продвижений в задачах 1.2 и 4.1 необходимы обобщения результатов, сформулированных ниже.

Теорема 4.7. *При $b = 2$ или $b = 3$ следующие два условия эквивалентны:*

- (1) C_{uv} является реакцией связной электрической цепи с b граничными вершинами, проводимости рёбер которой имеют положительную действительную часть;
- (2) C_{uv} — комплексная $b \times b$ матрица, обладающая следующими свойствами:
 - симметричность: $C_{uv} = C_{vu}$;
 - сумма элементов в каждой строке равна нулю: $\sum_{1 \leq u \leq b} C_{uv} = 0$;
 - положительность вещественной части: $\sum_{1 \leq u, v \leq b} (\operatorname{Re} C_{uv}) U_u U_v \geq 0$ для любых $U_1, \dots, U_b \in \mathbb{R}$;
 - почти положительная определённость: последнее неравенство является строгим, кроме случая $U_1 = \dots = U_b$.

Задача 4.8. Верен ли этот результат для $b \geq 4$?

4.3. Случайные блуждания

Случайным блужданием по электрической цепи (или по взвешенному графу) называется марковская цепь с матрицей перехода $P_{kl} = c_{kl} / \sum_{j=1}^n c_{jk}$. Такая марковская цепь является эргодической и обратимой. Обозначим через $k_1 l_1, \dots, k_m l_m$ все рёбра марковской цепи. Следующая теорема позволяет перевести результаты §1–§2 на «язык» случайных блужданий.

Теорема 4.9. [12, с. 42] *Пусть $P(c_{k_1 l_1}, \dots, c_{k_m l_m})$ — вероятность того, что случайное блуждание, стартующее из вершины 1, достигнет вершины 2 до первого возвращения в вершину 1. Пусть $C(c_{k_1 l_1}, \dots, c_{k_m l_m})$ — проводимость электрической цепи (с граничными вершинами 1 и 2). Тогда*

$$P(c_{k_1 l_1}, \dots, c_{k_m l_m}) = C(c_{k_1 l_1}, \dots, c_{k_m l_m}) / (c_{12} + \dots + c_{1n}).$$

Например, переводом лемм 2.3(1) и (5) будет следующий результат.

Следствие 4.10. *Вероятность $P(c_{k_1 l_1}, \dots, c_{k_m l_m})$ есть рациональная функция от где weights $c_{k_1 l_1}, \dots, c_{k_m l_m}$, которая обладает следующим свойством: если $\operatorname{Re} c_{k_1 l_1}, \dots, \operatorname{Re} c_{k_m l_m} > 0$, то $\operatorname{Re} ((c_{12} + \dots + c_{1n}) P(c_{k_1 l_1}, \dots, c_{k_m l_m})) > 0$.*

Последний результат не обязательно выполнен для необратимых марковских цепей: например, для марковской цепи с вершинами 1, 2, 3, 4 и ориентированными рёбрами 14, 42, 43.

В [14] получен близкий результат для необратимых марковских цепей. Доказательство использует результаты электроимпедансной томографии, сформулированные в §4.2.

Необратимые плоские марковские цепи могут быть интерпретированы, как разрезания трапеций на трапеции [23] (здесь *трапецией* называется четырёхугольник, две стороны которого параллельны оси x). Естественными задачами являются следующие: *обобщение результатов статьи на разрезания на трапеции; бесконечные разрезания; разрезания с учётом знаков.*

5. Обобщение основных идей

5.1. Электрические цепи

Наш подход основан на обобщении результатов §2 на электрические цепи с b входами. Короткие доказательства результатов §2 получаются в этом параграфе как частный случай $b = 2$. Наше доказательство леммы 5.2(3), которая является обобщением леммы 2.3(3), вероятно, является новым. Для простоты в этом пункте предполагаем, что цепи не имеют кратных рёбер. Все доказательства основаны на следующем фундаментальном законе сохранения энергии.

Лемма 5.1. *Пусть $E(U, I)$ — билинейная или полубилинейная функция. Рассмотрим электрическую цепь с вершинами $1, \dots, n$, такую, что вершины $1, \dots, b$ — граничные. Предположим, что числа U_k , где $1 \leq k \leq n$, и I_{kl} , где $1 \leq k, l \leq n$, удовлетворяют закону Ома (С) и правилу Кирхгофа (I) из §2. Положим $I_u = \sum_{k=1}^n I_{uk}$. Тогда*

$$\sum_{1 \leq k < l \leq n} E(U_k - U_l, I_{kl}) = \sum_{1 \leq u \leq b} E(U_u, I_u).$$

Обычно мы будем применять эту лемму к функции *диссипации энергии* $E(U, I) = \operatorname{Re}(U\bar{I})$.

Доказательство леммы 5.1. По закону (С) справедливо $I_{lk} = -I_{kl}$. Следовательно, по правилу (I) справедливо

$$\sum_{1 \leq k < l \leq n} E(U_k - U_l, I_{kl}) = \sum_{k=1}^n E(U_k, \sum_{l=1}^n I_{kl}) \sum_{1 \leq u \leq b} E(U_u, I_u).$$

□

Докажем теорему 2.1 в более общей ситуации, когда у электрической цепи b граничных вершин, а проводимости рёбер — комплексные числа с положительной действительной частью.

Доказательство теоремы 2.1. Единственность. Предположим, что два набора токов $I_{kl}^{I,II}$ и потенциалов $U_k^{I,II}$ подчиняются (С) и (I). Тогда их разность $I_{kl} = I_{kl}^I - I_{kl}^{II}$ и $U_k = U_k^I - U_k^{II}$ подчиняется (С) и (I) при нулевых входных потенциалах $U_1 = \dots = U_b = 0$. Тогда по лемме 5.1 имеем

$$\sum_{1 \leq k < l \leq n} \operatorname{Re} \bar{c}_{kl} |U_k - U_l|^2 = \sum_{1 \leq k < l \leq n} \operatorname{Re}((U_k - U_l)\bar{I}_{kl}) \sum_{1 \leq u \leq b} \operatorname{Re}(U_u \bar{I}_u) = 0.$$

Для всех k, l либо $\operatorname{Re} c_{kl} > 0$, либо $c_{kl} = 0$. Таким образом, каждое слагаемое $\operatorname{Re} \bar{c}_{kl} |U_k - U_l|^2 = 0$. Поскольку любая компонента связности цепи содержит граничную вершину, то все потенциалы U_k равны между собой. Следовательно, $U_k = 0$, $I_{kl} = 0$, и поэтому $I_{kl}^I = I_{kl}^{II}$, $U_k^I = U_k^{II}$ для всех k, l .

Существование. Количество уравнений в системе (С), (I) равно количеству неизвестных. Мы доказали, что эта система имеет единственное решение при $U_1 = \dots = U_b = 0$. По конечномерной альтернативе Фредгольма она имеет решение для любых U_1, \dots, U_b . □

Следующий результат обобщает лемму 2.3.

Лемма 5.2. *Предположим, что электрическая цепь имеет b граничных вершин и t рёбер с проводимостями c_1, \dots, c_m . Тогда реакция цепи $C_{uv}(c_1, \dots, c_m)$ обладает следующими свойствами:*

- (1) $C_{uv}(c_1, \dots, c_m) \in \mathbb{Q}(c_1, \dots, c_m)^{b \times b}$;
- (2) $C_{uv}(tc_1, \dots, tc_m) = tC_{uv}(c_1, \dots, c_m)$;
- (3) $\frac{\partial}{\partial c_j} C_{uv}(c_1, \dots, c_m) = (V_{ku} - V_{lu})(V_{kv} - V_{lv})$, где k и l являются концами ребра j , а $(V_{pq})_{p,q=1}^{n,b}$ — матрица линейного отображения $(U_1, \dots, U_b) \mapsto (U_1, \dots, U_n)$;
- (4) если $c_1, \dots, c_m > 0$, то $\frac{\partial}{\partial c_j} C_{uv}(c_1, \dots, c_m)$ неотрицательно определена;
- (5) если $\operatorname{Re} c_1, \dots, \operatorname{Re} c_m > 0$, то $\operatorname{Re} C_{uv}(c_1, \dots, c_m)$ неотрицательно определена.

Доказательство леммы 5.2. (1) По теореме 2.1 и методу Крамера решение $\{I_{kl}(U_1, \dots, U_b)\}$ системы линейных уравнений (С), (I) состоит из линейных функций от U_1, \dots, U_b с коэффициентами, являющимися рациональными функциями от c_1, \dots, c_m . Поэтому элементы матрицы линейного отображения $(U_1, \dots, U_b) \mapsto \sum_{k=1}^n I_{uk}(U_1, \dots, U_b)$ являются рациональными функциями от c_1, \dots, c_m .

(2) Рассмотрим систему линейных уравнений, полученную из условий (С), (I) подстановкой tc_1, \dots, tc_m вместо c_1, \dots, c_m . Она определяет те же потенциалы, что и в исходной цепи, а токи изменяются в t раз. Поэтому $C(tc_1, \dots, tc_m) = tC(c_1, \dots, c_m)$.

(3) Зафиксируем потенциалы U_1, \dots, U_b и все проводимости c_{pq} , кроме c_{kl} . Рассмотрим потенциалы и токи в цепи как функции от c_{kl} . Положим $E(U, I) := U \frac{\partial I}{\partial c_{kl}} - \frac{\partial U}{\partial c_{kl}} I$. Тогда $E(U_k - U_l, I_{kl}) = (U_k - U_l)^2$ и $E(U_p - U_q, I_{pq}) = 0$ для $pq \neq kl$. Поэтому по лемме 5.1 имеем

$$\begin{aligned} \sum_{1 \leq u, v \leq b} \frac{\partial C_{uv}}{\partial c_{kl}} U_u U_v &= \sum_{1 \leq u \leq b} E(U_u, I_u) = \sum_{1 \leq p < q \leq n} E(U_p - U_q, I_{pq}) = \\ &= (U_k - U_l)^2 = \sum_{1 \leq u, v \leq b} (V_{ku} - V_{lu})(V_{kv} - V_{lv}) U_u U_v. \end{aligned}$$

(4) Доказательство напрямую вытекает из предыдущей формулы.

(5) Для всех k, l имеем либо $\operatorname{Re} c_{kl} > 0$, либо $c_{kl} = 0$. Возьмём $U_1, \dots, U_b \in \mathbb{R}$ (хотя доказательство ниже работает и для комплексных потенциалов). По лемме 5.1 имеем

$$\begin{aligned} \sum_{1 \leq u, v \leq b} (\operatorname{Re} C_{uv}) U_u \bar{U}_v &= \sum_{1 \leq u, v \leq b} \operatorname{Re}(U_u \bar{C}_{uv} \bar{U}_v) \sum_{1 \leq u \leq b} \operatorname{Re}(U_u \bar{I}_u) = \\ &= \sum_{1 \leq k < l \leq n} \operatorname{Re}((U_k - U_l) \bar{I}_{kl}) \sum_{1 \leq k < l \leq n} \operatorname{Re} c_{kl} |U_k - U_l|^2 \geq 0. \end{aligned}$$

□

Замечание 5.3. Для связной цепи последнее неравенство является строгим, кроме единственного случая, когда $U_1 = \dots = U_b$. Ещё одно свойство матрицы реакции — $C_{uv} = C_{vu}$ (что также доказывается с помощью подходящего рассуждения о сохранении энергии).

5.2. Цепи и разрезания

Мы обобщим идеи из [1, 23], чтобы получить следующее обобщение леммы 2.2. Основная сложность доказательства — гарантировать отсутствие «седловых» вершин в цепи.

Лемма 5.4. Пусть P — ортогональный многоугольник общего положения с b горизонтальными сторонами, имеющими ориентированные длины I_1, \dots, I_b и y -координаты U_1, \dots, U_b . Тогда следующие 2 условия эквивалентны:

- (1) многоугольник P можно разрезать на m прямоугольников с отношениями сторон c_1, \dots, c_m ;
- (2) существует плоская замкнутая электрическая цепь с b граничными вершинами, m существенными рёбрами проводимостей $c_1, \dots, c_m > 0$, входными потенциалами U_1, \dots, U_b и входными токами I_1, \dots, I_b .

Замечание 5.5. Само по себе условие (2) не гарантирует существование ортогонального многоугольника с b горизонтальными сторонами, имеющими ориентированные длины I_1, \dots, I_b и y -координаты U_1, \dots, U_b . Лемма 5.4(1) \implies (2) не обязательно выполняется для многоугольников не общего положения.

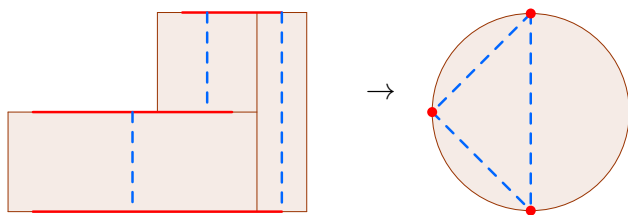


Рис. 6: построение электрической цепи по данному разрезанию многоугольника на прямоугольники.

Доказательство леммы 5.4. (1) \implies (2). Рассмотрим ортогональный многоугольник P общего положения, разрезанный на прямоугольники.

Построим сначала граф требуемой замкнутой электрической цепи (см. рис. 6). Рассмотрим объединение горизонтальных сторон всех прямоугольников разрезания. Это объединение распадается на несколько непересекающихся отрезков, которые мы назовём *горизонтальными разрезами*. Покрасим в красный цвет (жирные линии на рис. 6) все горизонтальные разрезы, кроме небольших окрестностей их концов. Покрасим в синий цвет (пунктирные линии) вертикальную среднюю линию каждого прямоугольника разрезания.

Стянем каждый красный отрезок в точку. При этой операции синее множество «перейдёт» в некоторый граф G , а многоугольник P «перейдёт» в некоторый топологический диск D (так как y -координаты горизонтальных сторон многоугольника P различны, то пересечение каждого красного отрезка с границей ∂P состоит не более, чем из одной связной части). Обозначим через $1, \dots, b$ вершины графа G , полученные при стягивании красных отрезков в тех горизонтальных разрезах, которые целиком содержат некоторые стороны многоугольника P . Обозначим через $b + 1, \dots, n$ остальные вершины графа. Ясно, что $G \subset D$, $G \cap \partial D = \{1, \dots, b\}$ и что каждая связная компонента графа G содержит граничную вершину. Таким образом, G — граф некоторой плоской цепи.

Зададим потенциалы, токи и проводимости в данной цепи. Для каждой вершины $k = 1, \dots, n$ графа G положим потенциал U_k равным y -координате горизонтального

красного отрезка, из которого получилась данная вершина. Для каждого ребра kl графа G , полученного из вертикальной средней линии прямоугольника разрезания, положим ток I_{kl} и проводимость c_{kl} равными горизонтальной стороне (с соответствующим знаком) и отношению этого прямоугольника, соответственно. Теперь аксиомы (С), (I) проверяются непосредственно. Построенная замкнутая электрическая цепь — искомая.

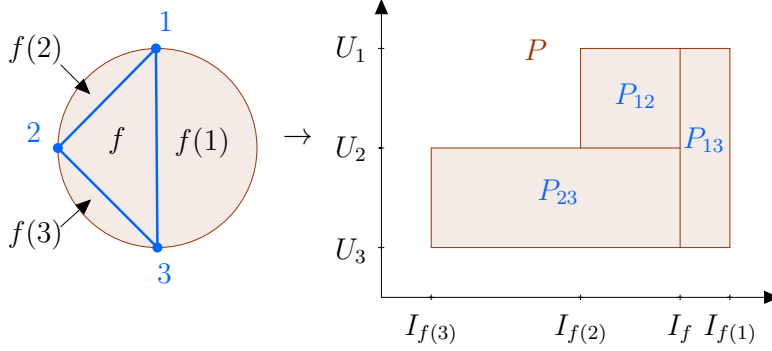


Рис. 7: построение разрезания многоугольника на прямоугольники по данной замкнутой электрической цепи.

(2) \implies (1). Рассмотрим замкнутую электрическую цепь, такую, как в условии (2) леммы. Построим разрезание многоугольника P на прямоугольники следующим образом.

Пусть e — ребро цепи. Обозначим через $e \uparrow$ (соответственно, $e \downarrow$) конец ребра e с более высоким (соответственно, более низким) напряжением. Это определение корректно, так как в условии леммы предполагается, что все ребра являются существенными. *Гранью* назовём связную компоненту дополнения к цепи в единичном диске D . Обозначим через $e \leftarrow$ (соответственно, $e \rightarrow$) грань, которая остаётся с левой (соответственно, с правой) стороны от ребра e при движении вдоль ребра e от вершины $e \uparrow$ к $e \downarrow$.

Согласно аксиоме (I) каждой грани f можно приписать действительное число I_f так, чтобы для всех рёбер kl выполнялось равенство $I_{kl \rightarrow} - I_{kl \leftarrow} = |I_{kl}|$. Не теряя общности, будем считать, что $\min_f I_f = \min_{(x,y) \in P} x$, где минимум в левой части берётся по всем граням f , примыкающим к границе диска D .

Пусть P_e — прямоугольник с вершинами $(I_{e \leftarrow}, U_{e \uparrow})$, $(I_{e \leftarrow}, U_{e \downarrow})$, $(I_{e \rightarrow}, U_{e \uparrow})$, $(I_{e \rightarrow}, U_{e \downarrow})$. Прямоугольники P_e , где e пробегает все рёбра цепи, образуют искомое замощение многоугольника P в силу следующих двух утверждений:

- 1) многоугольники P_e покрывают P — это лемма 5.6;
- 2) многоугольники P_e не перекрываются между собой — это лемма 5.7. □

Лемма 5.6. $\bigcup_e P_e = P$.

Доказательство. Достаточно доказать, что $\partial \bigcup_e P_e \subset \partial P$. Так как ∂P — простая замкнутая кривая на плоскости и множество $\bigcup_e P_e$ ограничено, то тогда мы получим нужное утверждение.

Нам потребуется следующее описание границы ∂P (см. рис. 7). Граничные вершины цепи разбивают единичную окружность ∂D на b дуг. Стартуя с вершины b , будем обходить окружность ∂D против часовой стрелки. Занумеруем дуги в порядке, в котором они встречаются при движении. Обозначим через $f(v)$ грань, содержащую

дугу v . Обозначим через H_v отрезок, соединяющий точки $(I_{f(v)}, U_v)$ и $(I_{f(v+1)}, U_v)$. Обозначим через V_v отрезок, соединяющий точки $(I_{f(v)}, U_{v-1})$ и $(I_{f(v)}, U_v)$, где мы считаем $U_0 := U_b$. Ясно, что $\partial P = \bigcup_{v=1}^b (H_v \cup V_v)$.

Возьмём точку $p \in \partial \bigcup_e P_e$ «общего положения», скажем, на горизонтальной стороне «многоугольника» $\bigcup_e P_e$. Точка p обязана принадлежать горизонтальной стороне некоторого прямоугольника разрезания. Пусть, скажем, она принадлежит верхней стороне прямоугольника P_e . Положим $v := e \uparrow$.

Проведём горизонтальную прямую H через верхнюю сторону прямоугольника P_e . Мы говорим, что прямоугольник P_d — *примыкающий*, если вершина v является концом ребра d . Примыкающие прямоугольники примыкают к прямой H сверху или снизу.

Предположим сначала, что вершина v не граничная. Простая индукция показывает, что к каждой точке прямой H (за исключением некоторого конечного множества) примыкает одинаковое число примыкающих прямоугольников P_d сверху и снизу. Так как прямоугольник P_e примыкает к точке p снизу и точка p выбрана общего положения, то некоторый примыкающий прямоугольник P_d примыкает к ней сверху. Таким образом, p принадлежит внутренности $\text{Int } P_e \cup P_f \subset \text{Int } \bigcup_e P_e$ — противоречие.

Значит, v — граничная вершина. Аналогично рассуждению выше, к каждой точке фигуры $H - H_v$ (за исключением некоторого конечного множества) примыкает одинаковое число примыкающих прямоугольников P_d сверху и снизу. Следовательно, $p \in H_v$. Таким образом, $p \in \partial P$, что и требовалось. \square

Лемма 5.7. $\sum_e \text{Area}(P_e) = \text{Area}(P)$.

Доказательство. Утверждение немедленно следует из леммы 5.1, так как площади прямоугольников выражаются формулами $\text{Area}(P_{kl}) = (U_k - U_l)I_{kl}$ и $\text{Area}(P) = \sum_{1 \leq u \leq b} U_u I_u$. \square

5.3. Обратные задачи

Сначала приведём доказательство леммы 2.6, следующее идеям работы [6]. Обобщения на случай $b > 2$ см. в [15].

Доказательство леммы 2.6. (1) \implies (2). Действительно, если $\text{Re } z \leq 0$, то $\text{Re } C(z) = -\text{Re } C(-z) \leq 0$ и поэтому $C(z) \neq 1$.

(2) \implies (1). Рассмотрим уравнение $C(z) = w$. Будем двигать w непрерывно в полуплоскости $\text{Re } w > 0$. Корни нашего уравнения не могут пересекать прямую $\text{Re } z = 0$ (так как если $\text{Re } z = 0$, то $\text{Re } C(z) = 0$ для нечётной функции $C(z) \in \mathbb{R}(z)$). Поэтому для всех w в полуплоскости $\text{Re } w > 0$ все корни уравнения $C(z) = w$ находятся в полуплоскости $\text{Re } z > 0$. Так как $C(z)$ нечётна, то то же самое верно и для полуплоскостей $\text{Re } w < 0$, $\text{Re } z < 0$. Поэтому утверждение (1) справедливо.

(1) \implies (3). Предположим, что $C(z) = 0$. Тогда $\text{Re } z = 0$ (так как $\text{Re } z > 0 \implies \text{Re } C(z) > 0$ и $\text{Re } z < 0 \implies \text{Re } C(z) = -\text{Re } C(-z) < 0$). Так как утверждение (1) и обратное к нему справедливы в окрестности точки z , то $C'(z) > 0$.

(3) \implies (4) Пусть z_1, \dots, z_m — нули функции $C(z)$. Так как $C'(z_k) > 0$, то эти нули являются простыми. Поэтому $C(z)$ имеет не более, чем m полюсов. Нули z_1, \dots, z_m разделяют проективную прямую $\text{Re } z = 0$ на m «отрезков». Так как $C'(z_k) > 0$, то для достаточно малых $\epsilon > 0$ справедливо $i \cdot C(z_k - i\epsilon) > 0$ и $i \cdot C(z_k + i\epsilon) < 0$. По теореме о промежуточном значении каждый «отрезок» содержит полюс функции $C(z)$. Поэтому все m полюсов функции $C(z)$ принадлежат проективной прямой $\text{Re } z = 0$ и чередуются с нулями z_1, \dots, z_m . Значит, утверждение (4) справедливо.

(4) \implies (5). Обозначим через $ht C(z)$ сумму степеней числителя и знаменателя несократимой дроби $C(z)$. Доказательство проведём индукцией по $ht C(z)$. Если $ht C(z) = 1$, то доказывать нечего. Теперь предположим, что $n \geq 1$ и, скажем, $b_n \neq 0$ в условии (4).

Положим $r(z) := 1/(C(z) - d_1 z)$ и $q(z) := 1/C(z)$. Докажем, что $r(z)$ удовлетворяет условию (3). Действительно, ясно, что $\lim_{z \rightarrow \infty} r(z) \neq 0$ и $r(z)$ нечётна. Нулями функции $r(z)$ являются числа $\pm ib_1, \dots, \pm ib_n$. Для всех $l = 1, \dots, n$

$$r'(\pm ib_l) = q'(\pm ib_l) = \frac{2}{d_1(a_l^2 - b_l^2)} \prod_{k \neq l} \frac{b_k^2 - b_l^2}{a_k^2 - b_l^2} > 0$$

в силу условия $a_1 > b_1 > a_2 > \dots > b_n \geq 0$.

Следовательно, по лемме 2.6(3) \implies (4) функция $r(z)$ также удовлетворяет условию (4). С другой стороны, $ht r(z) < ht C(z)$. По предположению индукции, $r(z)$ удовлетворяет условию (5). Поэтому $C(z) = d_1 z + 1/r(z)$ также удовлетворяет условию (5).

(5) \implies (1). Это доказывается индукцией по m . □

Доказательство теоремы 2.5. (1) \implies (2). Это немедленно следует из определений (см. §2.4).

(2) \implies (3). Это следует из леммы 2.3(2) и (5).

(3) \implies (1). Сначала предположим, что $\lim_{z \rightarrow \infty} C(z) \neq 0$. Тогда по лемме 2.6(1) \implies (5) условие (5) выполнено. Тогда требуемая последовательно-параллельная цепь с проводимостями рёбер $d_1 z, 1/d_2 z, d_3 z, 1/d_4 z, \dots, (d_m z)^{(-1)^m}$ сразу легко строится (ср. §3.2).

Теперь предположим, что $\lim_{z \rightarrow \infty} C(z) = 0$. Применим лемму 2.6(1) \implies (5) к функции $1/C(z)$. Тогда функция $C(z)$ удовлетворяет условию (5) леммы 2.6 с той лишь разницей, что $d_1 = 0$. Снова применяя конструкцию предыдущего абзаца, приходим к требуемой цепи. □

Замечание 5.8. Если $C(z) \in \mathbb{Q}(z)$, то цепь в условии (2) теоремы 2.5 можно считать последовательно-параллельной, а каждое число d_j рациональным.

Доказательство следствия 2.7. По условию (2) теоремы 1.3 имеем $C(c_1, c_2) = \sqrt{c_1 c_2} C(z)$, где $C(z) = C(z, 1/z)$ и $z = \sqrt{c_1/c_2}$. По теореме 2.5(3) \implies (1) и замечанию 5.8 существует последовательно-параллельная цепь с проводимостью $C(z)$, проводимость каждого ребра j которой равна либо $d_j z$, либо $1/d_j z$ для некоторых $d_1, \dots, d_m \in \mathbb{Q}$. Заменяем каждое ребро на соответствующую последовательно-параллельную подцепь, чтобы получить новую цепь с проводимостями рёбер z и $1/z$. Умножая проводимость каждого ребра на $\sqrt{c_1 c_2}$, получаем требуемую цепь. □

6. Доказательство вариаций

6.1. Доказательство теоремы 4.3

Доказательство теоремы 4.3. (1) \implies (2). Предположим, что многоугольник P разрезан на квадраты. По лемме 5.4 существует плоская электрическая цепь с единичными проводимостями рёбер, входными потенциалами U_1, \dots, U_b и входными токами I_1, \dots, I_b . Пусть C_{uv} — реакция этой цепи. Тогда $I_v = \sum C_{uv} U_u$. По лемме 5.2(1) все элементы матрицы C_{uv} рациональны. По теореме 4.5 получаем $C_{uv} \in \Omega_b$.

(2) \implies (1). Пусть $C_{uv} \in \Omega_b$ — матрица с рациональными элементами, такая, что $I_v = \sum C_{uv} U_u$. По теореме 4.5 существует плоская электрическая цепь с реакцией

C_{uv} . Рассмотрим минимальную цепь с таким свойством. По теореме 4.6 проводимость каждого ребра минимальной цепи рациональна. Пусть входные потенциалы равны U_1, \dots, U_b . Тогда входные токи равны I_1, \dots, I_b . Удалим все несущественные рёбра цепи. По лемме 5.4 многоугольник P можно разрезать на прямоугольники с рациональными отношениями сторон, а следовательно, и на квадраты. \square

Следствие 6.1. (лемм 5.2, 5.4 и теоремы 4.5) Пусть P — ортогональный многоугольник общего положения с b горизонтальными сторонами, имеющими ориентированные длины I_1, \dots, I_b и y -координаты U_1, \dots, U_b . Предположим, что многоугольник P можно разрезать на прямоугольники с отношениями сторон c_1, \dots, c_n . Тогда существует функция $C_{uv}(z_1, \dots, z_n)$, удовлетворяющая условиям (1), (2), и (5) леммы 5.2, такая, что $C_{uv}(c_1, \dots, c_n) \in \Omega_b$ и $I_v = \sum_{1 \leq u \leq b} C_{uv}(c_1, \dots, c_n) U_u$ для всех $v = 1, \dots, b$.

6.2. Доказательство теоремы 4.4

Доказательство теоремы 4.4. \Leftarrow . Это верно, так как любой многоугольник с рациональными координатами вершин можно разрезать на квадраты.

\Rightarrow . Пусть P разрезан на прямоугольники с отношениями сторон c и $1/c$. Докажем аналогично доказательству теоремы 1.5(1) \Rightarrow (2), что все корни минимального многочлена числа c имеют положительную действительную часть. Тогда теорема 4.4 будет следовать из теоремы 1.5(2) \Rightarrow (1).

Рассмотрим замкнутую электрическую цепь, описанную в лемме 5.4. Заменяем каждое ребро с проводимостью c (соответственно, $1/c$) в цепи на ребро с проводимостью $z \in \mathbb{C}$ (соответственно, $1/z$). Пусть $C_{uv}(z)$ — реакция полученной цепи. Рассмотрим функцию *диссипации энергии* $E(z) = \sum_{1 \leq u, v \leq b} C_{uv}(z) U_u U_v$. Так как каждое $U_u \in \mathbb{Q}$, то по лемме 5.2(1) получаем, что $E(z) \in \mathbb{Q}(z)$. По лемме 5.2(2) получаем, что $E(z)$ нечётна. Ясно, что $E(c) = \sum_{1 \leq u \leq b} I_u U_u = \text{Area}(P)$. Поэтому $E(c) \in \mathbb{Q}$ и $E(c) > 0$.

Так как $E(z) \in \mathbb{Q}(z)$, $E(z) \neq \text{const}$ и $E(c) \in \mathbb{Q}$, то c — корень многочлена с целыми коэффициентами. Возьмём такой многочлен минимальной степени. Пусть z — любой другой его комплексный корень. Тогда $E(z) = E(c) > 0$.

Докажем, что $\text{Re } z > 0$. Сначала предположим, что $\text{Re } z < 0$. Тогда по лемме 5.2(5) имеем $0 \leq \text{Re } E(-z) = -\text{Re } E(z) < 0$ — противоречие. Простой предельный переход показывает, что предположение $\text{Re } z = 0$ также приводит к противоречию. Поэтому $\text{Re } z > 0$. \square

6.3. Доказательство теоремы 4.7

Доказательство теоремы 4.7. (1) \Rightarrow (2). Это следует из леммы 5.2(5) и замечания 5.3.

(2) \Rightarrow (1). При $b = 2$ доказывать нечего. Предположим, что $b = 3$. Пусть $\delta > 0$ — достаточно малое число, $r_{uv} := -\text{Re } C_{uv} - \delta$, $m_{uv} := -\text{Im } C_{uv}$. По почти положительной определённости получаем, что $\text{Re} \begin{pmatrix} C_{11} & C_{12} \\ C_{21} & C_{22} \end{pmatrix}$ положительно определена. Поэтому $\begin{pmatrix} r_{31} + r_{12} & -r_{12} \\ -r_{12} & r_{12} + r_{23} \end{pmatrix}$ положительно определена для достаточно малого δ . Следовательно, $r_{12} + r_{23}, r_{31} + r_{12}, r_{12}r_{23} + r_{23}r_{31} + r_{31}r_{12} > 0$. Аналогично $r_{23} + r_{31} > 0$. Поэтому по крайней мере два числа из r_{12}, r_{23}, r_{31} являются положительными.

Если $r_{12}, r_{23}, r_{31} > 0$, то требуемая цепь — треугольник с вершинами 1, 2, 3 и проводимостями рёбер $c_{kl} = r_{kl} + im_{kl} + \delta$.

Теперь предположим, что ровно одно из чисел r_{12}, r_{23}, r_{31} , скажем, r_{31} , неположительно. Возьмём достаточно большое число M и положим

$\Delta_M := r_{12}r_{23} + r_{23}r_{31} + r_{31}r_{12} + iM(r_{23} + r_{12})$. Требуемая цепь является полным графом с вершинами 1, 2, 3, 4 и проводимостями рёбер

$$\begin{aligned} c_{12} &= im_{12} + \delta, & c_{14} &= \Delta_M/r_{23}, \\ c_{23} &= im_{23} + \delta, & c_{34} &= \Delta_M/r_{12}, \\ c_{31} &= im_{31} + \delta - iM, & c_{24} &= \Delta_M/(r_{31} + iM). \end{aligned}$$

Ясно, что при $M^2 > (r_{12}r_{23} + r_{23}r_{31} + r_{31}r_{12})|r_{31}|/(r_{23} + r_{12})$ все $\operatorname{Re} c_{kl} > 0$.

Покажем при помощи преобразования данной электрической цепи, что она имеет реакцию C_{uv} . Заменим «звезду», состоящую из рёбер 14, 24 и 34, на треугольник, состоящий из трёх новых рёбер с проводимостями $c'_{12} = r_{12}$, $c'_{23} = r_{23}$ и $c'_{31} = r_{31} + iM$. Это преобразование звезда-треугольник не изменяет реакцию цепи [23, р. 12]. Полученная цепь имеет три пары кратных рёбер. Поэтому она имеет ту же реакцию, что и треугольник с проводимостями рёбер $r_{12} + im_{12} + \delta$, $r_{23} + im_{23} + \delta$, $r_{31} + im_{31} + \delta$. Значит, реакция цепи равна C_{uv} . конкурсом Мёбиуса \square

Благодарности

Авторы благодарны А. Акопяну, М. Хьюстону и Б. Джорджу за полезные обсуждения и Ф. Шарову за перевод на русский язык. М. Скопенков частично поддержан грантом ИНТАС 06-1000014-6277, грантом российского фонда фундаментальных исследований 06-01-72551-НЦНИЛ-а, фондом поддержки молодых учёных «Конкурс Мёбиуса» и фондом Эйлера.

- [1] I. Benjamini and O. Schramm, Random walks and harmonic functions on infinite planar graphs using square tilings, *Ann. Prob.* **24:3** (1996), 1219–1238.
- [2] V. G. Boltianskii, Hilbert’s Third Problem (trans. by R. Silverman), V. H. Winston & Sons, Washington D. C., 1978.
- [3] R. L. Brooks, C. A. B. Smith, A. H. Stone, and W. T. Tutte, The dissection of rectangles into squares, *Duke Math. J.* **7** (1940), 312–340.
- [4] A. P. Calderón, On an inverse boundary value problem, *Comput. Appl. Math.* **25:2-3** (2006), 133–138.
- [5] J. Cannon, W. Floyd, W. Parry, Squaring rectangles: the finite Riemann mapping theorem, *Contemp. Math.* **169** (1994), 133–211.
- [6] W. Cauer, Die Verwirklichung der Wechselstromwiderstände vorgeschriebener Frequenzabhängigkeit, *Archiv für Elektrotechnik* **17** (1926), 355–388 (in German).
- [7] Y. Colin de Verdière, Réseaux électriques planaires I, *Comm. Math. Helv.* **69:1** (1994), 351–374 (in French).
- [8] Y. Colin de Verdière, I. Gitler, and D. Vertigan, Réseaux électriques planaires II, *Comm. Math. Helv.* **71:1** (1996), 144–167 (in French).
- [9] E. B. Curtis, D. Ingerman, and J. A. Morrow, Circular planar graphs and resistor networks, *Lin. Alg. Appl.* **283** (1998), 115–150.
- [10] E. B. Curtis and J. A. Morrow, Inverse problems for electrical networks, *Series on Appl. Math.* **13**, World Scientific, Singapore, 2000.

- [11] M. Dehn, Über die Zerlegung von Rechtecken in Rechtecke, *Math. Ann.* **57** (1903), 314–332 (in German).
- [12] P. G. Doyle and J. L. Snell, *Random walks and electric networks*, Mathematical Association of America, 1984, <http://arxiv.org/abs/math.PR/0001057>.
- [13] A. J. W. Duijvestijn, Simple perfect squared square of lowest order, *J. Comb. Theory B* **25** (1978), 240–243.
- [14] S. Fomin, Loop-erased walks and total positivity, *Trans. AMS* **353:9** (2001), 3563–3583.
- [15] R. M. Foster, Academic and Theoretical Aspects of Circuit Theory, *Proc. IRE* **50:5** (1962), 866–871.
- [16] C. Freiling, R. Hunter, C. Turner, and R. Wheeler, Tiling with Squares and Anti-Squares, *Amer. Math. Monthly* **107:3** (2000), 195–204.
- [17] C. Freiling, M. Laczkovich, and D. Rinne, Rectangling a rectangle, *Discr. Comp. Geom.* **17** (1997), 217–225.
- [18] C. Freiling and D. Rinne, Tiling a square with similar rectangles, *Math. Res. Lett.* **1** (1994), 547–558.
- [19] M. Gardner, Squaring the square. In: *The 2nd Scientific American Book of Mathematical Puzzles and Diversions*, University of Chicago Press, 1987, 256 p.
- [20] H. Hadwiger, *Vorlesungen Über Inhalt, Oberfläche und Isoperimetrie*, Springer-Verlag, 1957 (in German).
- [21] K. Keating and J. L. King, Shape tiling, *Elect. J. Comb.* **4:2** (1997), R12.
- [22] K. Keating and J. L. King, Signed tilings with squares, *J. Comb. Theory A* **85:1** (1999), 83–91.
- [23] R. Kenyon, Tilings and discrete Dirichlet problems, *Israel J. Math.* **105:1** (1998), 61–84.
- [24] M. Laczkovich and G. Szekeres, Tiling of the square with similar rectangles, *Discr. Comp. Geom.* **13** (1995), 569–572.
- [25] G. F. Lawler and J. Sylvester, Determining resistances from boundary measurements in finite networks, *SIAM J. Discr. Math.* **2** (1989), 211–239.
- [26] L. Lovasz, Random walks on graphs: a survey, In: *Combinatorics, Paul Erdos is Eighty*, D. Milos, V. T. Sos, and T. Szony, Eds., Budapest, Hungary: Janos Bolyai Math. Soc., 1996, 353–398.
- [27] V. G. Pokrovskii, Slicings of n -dimensional parallelepipeds, *Math. Notes* **33:2** (1983), 137–140.
- [28] F. Sharov, Dissection of a rectangle into rectangles with given side ratios, *Mat. Prosveschenie 3rd ser.* **20** (2016), 200–214 (in Russian) <http://arxiv.org/abs/1604.00316> (in English and in Russian).

- [29] M. Skopenkov, M. Prasolov and S. Dorichenko, Dissections of a metal rectangle, *Kvant* **3** (2011), 10–16 (in Russian) <http://arxiv.org/abs/1011.3180>.
- [30] M. Skopenkov, O. Malinovskaya and S. Dorichenko, Compose a square, *Kvant* **2** (2015), 6–11 (in Russian) <http://arxiv.org/abs/1305.2598>.
- [31] J. Sylvester and G. Uhlmann, A global uniqueness theorem for an inverse boundary value problem, *Ann. Math.* **125** (1987), 153–169.
- [32] Z. Su and R. Ding, Tilings of orthogonal polygons with similar rectangles or triangles, *J. Appl. Math. Comp.* **17:1** (2005), 343–350.
- [33] B. Szegedy, Tilings of the square with similar right triangles, *Combinatorica* **21:1** (2001), 139–144.
- [34] H. S. Wall, *Analytic theory of continued fractions*, Chelsea Pub. Co., Bronx, N. Y., 1967, 433 p.
- [35] H. Weyl, Repartición de corriente en uno red conductora, *Rev. Mat. Hisp. Amer.* **5** (1923), 153–164 (in Spanish).
- [36] I. M. Yaglom, *How to dissect a square?* *Mathematicheskaya bibliotekha*, Nauka, Moscow, 1968, 112 p. (in Russian), <http://ilib.mirror1.mccme.ru/djvu/yaglom/square.htm>.